



Spatial pattern of environmental vulnerability in Iran

Habib Allah Sadeghi^a, Afshin Danehkar^b, Mohammad Jalal Abbasi-Shavazi^c

^a PhD scholar in Demography, Department of Demography, Faculty of Social Sciences, University of Tehran, Tehran, Iran .

^b Professor in Environmental Science, Natural Resources Faculty, University of Tehran, Karaj, Iran .

^c Academy Fellow, Vienna Institute of Demography, Austria.

Professor in Demography, Faculty of Social Sciences, University of Tehran, Tehran, Iran .

Honorary Professor, School of Demography, Australian National University, Canberra, Australia.

Received: 25 September 2023

Revised: 17 November 2023

Accepted: 9 December 2023

Abstract

A deeper understanding of environmental vulnerability is essential for crafting effective sustainability strategies. However, data deficiencies and methodological uncertainties often obscure a comprehensive grasp of the underlying issues. This study employs Google Earth Engine (GEE)-coded satellite imagery and the Getis spatial autocorrelation test to examine spatial patterns of environmental vulnerability in 397 Iranian counties from 2011 to 2021, framed within the theoretical lens of vulnerability.

The results of the Getis test reveal heterogeneous distributions and diverse vulnerability patterns across Iranian counties in various dimensions, including air pollution, greenhouse gas emissions, changes in temperature and precipitation, groundwater depletion, biodiversity threats, and soil erosion, particularly in the central, southern, eastern, and northern regions. Emphasizing the role of distinct spatial patterns in terms of "sensitivity" and "exposure," this research suggests that environmental policies in Iran should be tailored to regional spatial disparities and socio-ecological characteristics. This approach can enhance adaptive capacity and mitigate environmental vulnerability in critical areas. The use of algorithmic techniques for environmental vulnerability indexing, combined with spatial data and population analysis, provides a robust framework for future research. This framework can be applied in national and regional planning to alleviate environmental pressures and improve sustainability.

Keywords: Environmental Vulnerability, Google earth Engine(GEE) ,Spatial Autocorrelation, Sustainability Strategies, Regional Disparities, Adaptive Capacity.

*.Corresponding authors:

Habib Allah Sadeghi-

Afshin Danehkar

Email: habib.sadeghi@ut.ac.ir

Email: danehkar@ut.ac.ir

Tel:+989165884674

Tel:+989123094861

How to cite this Article: Sadeghi, H A., Danehkar,A., & Abbasi-Shavazi, M J. (2024). Spatial pattern of environmental vulnerability in Iran. *Journal of Geography and Environmental Hazards*, 13(3), 1-34.



©2024 The author(s). This is an open access article distributed under Creative Commons Attribution 4.0 International License (CC BY 4.0)





دسترسی آزاد

DOI: 10.22067/geoh.2023.84603.1417

مقاله پژوهشی

الگوی فضایی آسیب پذیری محیط زیست در ایران

حبیب الله صادقی^۱ - دانشجوی دکتری جمعیت شناسی، دانشکده علوم اجتماعی، دانشگاه تهران، تهران، ایران. 

افشین دانه کار^۲ - استاد گروه محیط زیست، دانشکده منابع طبیعی، دانشگاه تهران، کرج، ایران. 

محمد جلال عباسی شوازی - الف) عضو آکادمی، موسسه جمعیت شناسی وین، اتریش، ب) استاد گروه جمعیت شناسی، دانشکده علوم اجتماعی، دانشگاه تهران، تهران، ایران، و ج) استاد مدعو، موسسه مطالعات جمعیتی، دانشگاه ملی استرالیا، کانبرا، استرالیا.

تاریخ دریافت: ۱۴۰۲/۷/۳ تاریخ بازنگری: ۱۴۰۲/۸/۲۶ تاریخ پذیرش: ۱۴۰۲/۹/۱۸

چکیده

شناخت سطح خرد آسیب پذیری محیط زیست از لحاظ فنی و نظری به عنوان نقشه راه دقیق در پایداری محیط زیست عمل می کند. با وجود این ضعف داده و عدم قطعیت روشی فهم درست مسائل ناشی از آن را مغفول گذاشته است. مقاله پیش رو با استفاده از تصاویر ماهواره ای کد نویسی شده گوگل ارث انجین (GEE) و روش خود هم بستگی فضایی گتیس در قالب نظریه ی «آسیب پذیری» به بررسی و تحلیل الگوهای فضایی آسیب پذیری محیط زیست ۳۹۷ شهرستان ایران طی سال های ۱۳۹۰ تا ۱۴۰۰ می پردازد. نتایج آزمون گتیس نشان دهنده توزیع نابرابر و الگوهای متنوع آسیب پذیری شهرستان های ایران در ابعاد مختلف از جمله آلودگی هوا، گازهای گلخانه ای، تغییرات دما و بارش، کاهش آب های زیرزمینی، تهدید تنوع زیستی و فرسایش خاک، به ویژه در مناطق مرکزی، جنوب، شرق و نوار شمالی خواهد بود. به همین ترتیب، این پژوهش با تأکید بر نقش الگوهای فضایی متفاوت در ابعاد «حساسیت» و «قرار گرفتن در معرض خطر»، پیشنهاد می کند که سیاست گذاری های محیط زیستی در ایران باید با توجه به نابرابری های فضایی و متناسب با ویژگی های جمعیتی و بوم شناختی هر منطقه تنظیم شوند. این رویکرد می تواند به بهبود ظرفیت سازگاری و کاهش آسیب پذیری محیط زیستی در مناطق بحرانی کمک کند. استفاده از تکنیک های الگوریتمی برای شاخص سازی آسیب پذیری محیط زیستی و تلفیق داده های فضایی با تحلیل های جمعیتی، چارچوبی مؤثر برای پژوهش های آینده ارائه می دهد که می تواند در برنامه ریزی های ملی و منطقه ای به منظور کاهش فشارهای محیطی و بهبود پایداری محیط زیستی به کار گرفته شود.

۲. نویسنده مسئول: ۰۹۱۶۵۸۸۴۶۷۴

Email: habib.sadeghi@ut.ac.ir

۲. نویسنده مسئول: ۰۹۱۲۳۰۹۴۸۶۱

Email: danehkar@ut.ac.ir

کلیدواژه‌ها: آسیب‌پذیری محیط‌زیستی ، موتور گوگل‌ارث (GEE) ، خودهمبستگی مکانی، راهبردهای پایداری، تفاوت‌های منطقه‌ای، ظرفیت سازگاری.

۱- مقدمه

یکی از مهم‌ترین مسائلی که در حال حاضر به‌عنوان یک تهدید جدی برای جوامع مطرح می‌باشد، ریسک‌های محیط‌زیستی^۱ است که نه تنها آرامش و امنیت را از زندگی انسان‌ها دور می‌کند، بلکه موجودیت بشر را نیز تهدید می‌کند (Sadeghi, Azizi & Sadeghi, 2022)؛ بنابراین، با افزایش آگاهی نسبت به قریب‌الوقوع بودن اثرات تغییرات محیط‌زیست بر جمعیت‌های انسانی، برخی از سیاست‌گذاران و اکثر جامعه علمی را برانگیخت تا خواهان اقدام مؤثرتری باشند (Guzmán & de México, 2013). در همین راستا ارزیابی اکوسیستم هزاره سازمان ملل^۲ (۲۰۰۵) هشدار داد که «فعالیت‌های انسانی چنان بر عملکرد طبیعی زمین فشار وارد می‌کند که توانایی اکوسیستم‌های سیاره برای حفظ نسل‌های آینده را دیگر نمی‌توان بدیهی تلقی کرد» (Lee & Diop, 2009). چراکه تقاضای انسان در سیاره زمین از عرضه منابع پیشی گرفته و فشار بیش از توان ظرفیت بر اکوسیستم‌ها، کاهش تنوع زیستی در سطح جهانی و همچنین افزایش سطح منواکسید کربن^۳ در اتمسفر که خود باعث افزایش دمای جهانی، تغییرات آب‌وهوا و اسیدی شدن اقیانوس‌ها می‌شود، رخ خواهد داد (Guzmán & de México, 2013).

علاوه بر این، همان‌طور که در گزارش معتبر منتشرشده توسط مرکز تاب‌آوری استکهلم^۴ منعکس شد، پویایی جمعیت‌ها و استفاده نادرست از منابع مادی، انرژی و زیستی زمین، توسط سیستم اقتصادی جهانی در حال حاضر از مرزهای سیاره‌ای در سه حوزه (تغییر آب‌وهوا، تنوع زیستی و ورودی نیتروژن به بیوسفر) فراتر رفته و حداقل در شش حوزه دیگر شناخته‌شده نیز فراتر خواهد رفت (Rockström et al., 2009). در همین راستا اکوسیستم‌های طبیعی آن‌چنان به‌وسیله تخریب محیط‌زیست تحت تأثیر قرار گرفته که قابلیت لازم برای خود احیائی و سازگاری در آن‌ها به پایین‌ترین حد ممکن رسیده است (Reed, 2008)؛ بنابراین با توجه به موارد فوق تخریب محیط‌زیست به‌عنوان یک مسئله مهم و حیاتی نگرانی‌های جهانی بسیاری را برانگیخته است. باین‌وجود به دلیل ضعف داده‌های ثبتی و عدم قطعیت در روش‌های سنجش آسیب‌پذیری، امکان ارزیابی یکپارچه محیط‌زیست از رهیافت نظری را دشوار کرده است.

1. Environmental risks
2. Millennium Ecosystem Assessment
3. CO₂
4. Stockholm Resilience Center

در همین راستا و از رهیافت نظری محیط‌زیست می‌توان اشاره کرد یکی از مهم‌ترین دیدگاه‌ها در مورد حفاظت از محیط‌زیست، نظریه آسیب‌پذیری است؛ چراکه امکان بررسی و ارزیابی آسیب‌پذیری محیط‌زیست در ابعاد حساسیت^۱ و قرار گرفتن در معرض خطر^۲ را به ورطه تحلیل می‌کشاند. اصطلاح «آسیب‌پذیری»^۳ از کلمه لاتین *vulnus* به معنای «زخم» گرفته شده است. از این‌رو آسیب‌پذیری به معنای واقعی کلمه «توانایی زخمی شدن» است (Torabi, Saravani, Sadeghi & Jahanbazian, 2024; Gallopín, 2006). سایر تعاریف عمومی این اصطلاح مشابه هستند، به‌عنوان مثال «پتانسیل از دست دادن» (Cutter, 1996) یا «مستعد بودن برای آسیب دیدن» (Adger, 2006) یا «درجه‌ای که یک سیستم احتمالاً به دلیل در معرض خطر بودن، آسیب می‌بیند» (Turner, 2015). آسیب‌پذیری حتی قبل از اینکه کاربرد گسترده‌ای در زمینه‌های بهداشت عمومی، توسعه پایدار و تغییرات آب و هوایی پیدا کند، یکی از مفاهیم اساسی در رشته‌های تحقیقی مرتبط با مخاطرات طبیعی بوده است (Turner, 2015; Adger, 2000; Füssel, 2007).

در ادبیات گسترده آکادمیک، آسیب‌پذیری اصطلاحی است که با انواع پیامدهای خاص مدیریت سوانح و به‌طور کلی با خطرات طبیعی مرتبط است (Alwang, Siegel & Jorgensen, 2001). علاوه بر این، هم جغرافیای انسانی و هم بوم‌شناسی انسانی آسیب‌پذیری را به تغییرات محیطی مرتبط می‌داند (Adger, 2006). این در حالی است که تحقیقات دیگر آسیب‌پذیری را برحسب سطح خطر، ظرفیت بازبایی و پاسخ به آن تعریف می‌کند؛ بنابراین، آسیب‌پذیری علاوه بر معیارهای خطر که با جنبه‌های فیزیکی، اجتماعی و اقتصادی در ارتباط است، توانایی مقابله با خطرات و شوک‌های مختلف را نیز توصیف می‌کند (Chambers, 1989; Proag, 2014)؛ بنابراین دو جنبه اساسی در بحث آسیب‌پذیری وجود دارد: نخست، جنبه خارجی که به عناصر ساختاری شامل میزان حساسیت و خطر مواجهه (McCarthy, 2001) و دوم، جنبه داخلی که به توانایی پاسخگویی و مقابله با عوامل تنش‌زا و اقدامات لازم برای غلبه بر آن‌ها اشاره دارد (Bohle, 2001; Chambers, 1989).

همان‌طور که ادگر (Adger, 2006) اشاره دارد، قرار گرفتن در معرض عوامل تنش‌زا، حساسیت و ظرفیت سازشی، سه عنصر حیاتی آسیب‌پذیری هستند. سگنون و همکاران (Segnoen et al, 2021) نیز ضمن تأکید بر ویژگی‌های فوق اشاره می‌کنند که آسیب‌پذیری توسط عوامل یا فرآیندهای اجتماعی، اقتصادی، فیزیکی و محیطی تعیین می‌شود که حساسیت یک سیستم را نسبت به تأثیر مخاطرات افزایش می‌دهد. قرار گرفتن در معرض خطر و حساسیت زمانی که با هم مشاهده می‌شوند، تصویری از تأثیرات بالقوه محیط‌زیست بر یک ویژگی خاص ایجاد می‌کنند. این اثرات بالقوه سناریوهای نظری هستند که ظرفیت سازشی را در نظر نمی‌گیرند؛ بنابراین باید به‌عنوان مجزا از رتبه‌بندی آسیب‌پذیری کلی در نظر گرفته شوند. هنگامی که این سه مؤلفه با هم

-
1. Sensitivity
 2. Exposure
 3. Vulnerability

در نظر گرفته می‌شوند، می‌توانند برای ایجاد یک برآورد کلی از آسیب‌پذیری استفاده شوند. در واقع، این مفهوم ترکیبی آسیب‌پذیری، ابزار تحلیلی قدرتمندی را برای بررسی و سنجش جدی‌تر آسیب‌پذیری فراهم می‌کند. توصیف حالت‌های حساسیت محیط‌زیست به آسیب، شکنندگی، خطر و ظرفیت سازشی در سیستم‌های مختلف از سوی دولت‌ها و تصمیم‌گیرندگان بسیار مورد توجه قرار گرفته است ([Bardsley & Wiseman, 2012](#) Vogel,) ([Susanne, Roger & Geoffrey, 2012](#)).

با توجه به موارد فوق، واکاوی فضایی و زمانی محیط‌زیست و در نتیجه، تأیید نظریه آسیب‌پذیری ارائه شده توسط هیأت بین دولتی تغییرات اقلیمی^۱ (۲۰۱۳) در مورد محیط‌زیست ایران می‌تواند به بسیاری از سؤالات پاسخ دهد و همچنین توجه سیاست‌گذاران و سرمایه‌گذاران را به وضعیت کنونی محیط‌زیست جلب کند. علاوه بر این، توانایی برنامه‌ریزی و تصمیم‌گیری در مورد مسائل جامعه مثل محیط‌زیست را به سیاست‌مداران ارائه می‌کند. به همین ترتیب، تمرکز اصلی این تحقیق بر نظریه آسیب‌پذیری و جنبه داخلی آن یعنی آسیب‌پذیری در ابعاد حساسیت و در معرض خطر بودن و همچنین نقش پویایی جمعیت‌ها در افزایش ظرفیت سازشی خواهد بود. از این رو، تحقیق حاضر درصدد است به این سؤال که در ابتدا وضعیت محیط‌زیست ایران در دو بعد حساسیت و در معرض خطر بودن چگونه است؟ و آیا الگوی فضایی خاصی در این دو بعد آسیب‌پذیری وجود دارد؟ پاسخ دهد.

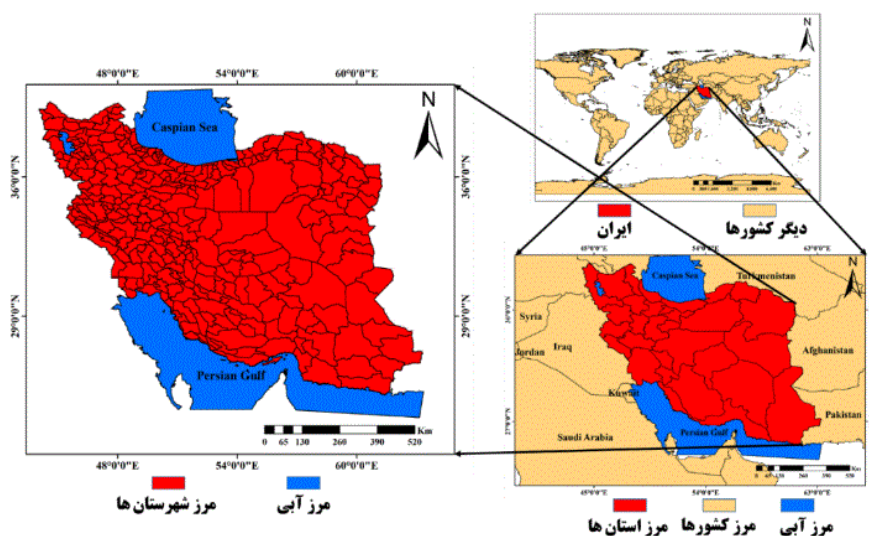
۲. مواد و روش

۲-۱ موقعیت منطقه مورد مطالعه

منطقه مورد مطالعه مطابق شکل ۱ و بر مبنای تقسیمات کشوری در سال ۱۳۹۰ تعداد ۳۹۷ شهرستان ایران در طی سال‌های ۱۳۹۰ تا ۱۴۰۰ خواهد بود که بین طول جغرافیایی ۴۵ درجه تا ۶۳ درجه شرقی و عرض جغرافیایی ۲۵ تا ۴۴ درجه شمالی واقع شده است. کشور ایران با تنوع بسیار زیاد اقلیمی، خاکی، اکولوژیک و اقتصادی-اجتماعی مساحتی معادل ۱/۶۲۰ میلیون کیلومتر مربع دارد. اقلیم غالب ایران فراخشک و خشک بیابانی^۲ (۶۳ درصد کشور) بوده و مقدار متوسط بارندگی آن ۲۵۰ میلی‌متر است ([Mohammadi, Karimzadeh, 2018](#)).

1 . Intergovernmental Panel on Climate Change

۲ . مطابق طبقه بندی دومارتون (De Martonne)



شکل ۱- موقعیت منطقه مورد مطالعه

Fig.1. Location of the study area

۲-۲ روش انجام پژوهش

پژوهش حاضر از لحاظ هدف، کاربردی و روش آن تحلیل ثانویه است که سطح تحلیل آن مطابق شکل ۱ و بر مبنای تقسیمات کشوری در سال ۱۳۹۰ تعداد ۳۹۷ شهرستان ایران در طی سالهای ۱۳۹۰ تا ۱۴۰۰ خواهد بود. با توجه به موارد فوق، به منظور تحقق هدف پژوهش حاضر، در ابتدا چارچوب نظری و علمی موضوع بررسی و در ادامه روند تحقیق مطابق گزارش وضعیت محیط زیست ایران و مرکز بررسی های استراتژیک ریاست جمهوری (۱۳۹۶) با تمرکز بر داده های محیط زیست شامل ۶ مجموعه داده آلودگی هوا، گازهای گلخانه ای، منابع آبی، فرسایش خاک، تنوع زیستی و تغییر اقلیم برای ارزیابی وضعیت آسیب پذیری محیط زیست ایران مورد توجه قرار گرفت (Sadeghi, 2023). در همین راستا یکی از آلاینده های اصلی هوا ذرات معلق، به ویژه ذرات با قطر آئرو دینامیکی کمتر از ۲/۵ میکرون^۱ و ۱۰ میکرون^۲ است، که هنوز علی رغم تلاش های بسیار برای کنترل و کاهش آن، به عنوان یک مشکل فراگیر باقی مانده است. اگرچه اندازه گیری های مربوط به ایستگاه های زمینی پایش غلظت ذرات کمتر از ۲/۵ میکرون و ۱۰ میکرون به دلیل عدم پوشش کلیه مناطق بررسی و مطالعه آلودگی و اثرات ناشی از این ذرات ناکافی است (Raispour, 2021)، اما دورسنجی ماهواره ای در بسیاری از مطالعات به دلیل در دسترس بودن داده ها در یک شرایط با پوشش کامل و یکنواخت جهت دستیابی به توزیع بزرگ مقیاس ذرات استفاده شد (Han et al., 2015; Kloog et al., 2015; Chudnovsky, 2021)؛ که محصول متداول

^۱. PM

^۲. PM2.5

ماهواری برای برآورد غلظت زمینی ذرات ۲/۵ میکرون و ۱۰ میکرون، عمق نوری هواویزها از طریق ماهواره مادیس با وضوح ۱۰۰۰ متر می‌باشد (Raispour, 2021).

گازهای گلخانه‌ای مجموعه‌ای از گازهای بخار آب، دی‌اکسیدنیترژن، دی‌اکسیدکربن و متان را در بر می‌گیرند. امروزه به علت تولید بیش‌ازحد گازهای گلخانه‌ای احتمال می‌رود که زمین از حالت استاندارد گرم‌تر شده و باعث، آب شدن یخ‌های قطبی و ایجاد سیل در نقاطی از جهان، افزایش فعالیت‌های زمین‌شناختی پوسته، زمین‌لرزه‌ها، سونامی‌ها، آتشفشان‌ها و طوفان‌ها بیشتر و اسیدی‌تر شدن آب اقیانوس‌ها (و در نتیجه صدمه به موجودات آبی) شود (Azmi & Motiee, 2011)؛ بنابراین همان‌طور که اشاره شد دو گاز گلخانه‌ای دی‌اکسید کربن و متان از طریق دو ماهواره سنتینل و گوست به‌عنوان مهم‌ترین گازهای مطرح (IPCC, 2013) مورد بررسی قرار گرفت.

تغییرات اقلیمی ذیل دو مؤلفه دمای سطح و بارش مدل‌سازی و مورد استفاده قرار می‌گیرد (IPCC, 2013). از آنجایی دمای سطح زمین یک متغیر کلیدی در آنالیز و مدل‌سازی بیلان انرژی سطح، رطوبت سطحی، تبخیر و تعرق و مطالعات تغییر اقلیم در مقیاس‌های گوناگون است (Sabziparvar & Nazemosadat, 2016; Laforteza, 2009). می‌توان به‌وسیله ماهواره‌ای دور سنجی مادیس با رزولوشن ۱۰۰۰ متر در بازه‌های زمانی کوتاه نمایشی سینوپتیکی از دمای سطح زمین را ارائه کرد (Rozenstein, Qin, Derimian & Karnieli, 2014). علاوه بر این، بارش یا بارندگی مهم‌ترین عاملی است که به‌طور مستقیم در چرخه هیدرولوژی دخالت دارد (Raispour, 2021). همان‌طور که اسکندری و همکاران (Eskandari, Ahmadloo, Pourghasemi, Ahangaran & Rezapour, 2023) اشاره می‌کنند میانگین بارندگی در کشور ایران به‌طور میانگین ۲۴۰ میلی‌متر است که از این مقدار حدود ۷۰ درصد آن مستقیماً تبدیل به بخار می‌شود. علاوه بر این، برآورد مقدار بارش از طریق تصاویر پنج‌روزه ناسا با کیفیت ۵۰۰۰ متر برای پیش‌بینی و شبیه‌سازی تغییرات اقلیمی و مخاطرات طبیعی از قبیل سیل، خشکسالی و رانش زمین از اهمیت بالایی برخوردار است (Eskandari et al., 2023).

افت سطح سفره‌های آب زیرزمینی (که دومین منبع آب شیرین در دنیا است) به‌عنوان چالشی جدی در بیشتر کشورها ایجاد شده است (Cunningham, Sharp, Hiebert & James, 2003). پمپاژ زیاد آب، چهره‌ی زمین را دگرگون خواهد کرد؛ به‌طوری‌که کیفیت آب‌ها را کاهش و هزینه استحصال آن را افزایش می‌دهد (Issazadeh & Argany, 2021; Nie et al., 2019). در چند دهه اخیر در دشت‌های مختلف کشور ایران نیز افت سطح آب زیر زمینی شکل گرفته و استفاده از تکنیک دور سنجی و تصاویر ماهواره گریس در زمینه‌های مختلف محیط زیستی به‌ویژه منابع آب زیر زمینی گسترش یافته است (Farokhnia & Morid, 2014).

مجموعه‌ای از مطالعات در ارتباط با شاخص پوشش گیاهی نرمال شده نشان می‌دهد که مناطق با پوشش گیاهی بیشتر امکان بیشتری را برای زیست انواع گونه‌های جانوری فراهم می‌کند (De Jong, Verbesselt, 2014).

(Schaepman & De Bruin, 2012). به همین منظور از تصاویر روزانه مادیس با وضوح ۲۵۰ متر و تفاوت بین باندهای قرمز و مادون قرمز شاخص پوشش گیاهی نرمال شده به منظور بررسی ابعاد محیط زیستی پوشش گیاهی، تراکم پوشش جنگل‌ها و بازنمایی تنوع زیستی استفاده شد.

فرسایش خاک^۱، سطح از دست رفتگی خاک توسط عوامل مختلف محیطی نظیر آب و هوا، خاک، توپوگرافی و پوشش گیاهی را نشان می‌دهد (Chen et al., 2019; Thomas, Joseph & Thri vikramji, 2018; Lee, Chu, Guzman & Botero-Acosta, 2021). با این حال، مداخلات انسانی از طریق تغییر کاربری زمین^۲، فعالیت‌های کشاورزی و ساختمانی می‌تواند این فرآیند را سرعت بخشد (Vanacker et al., 2019; Diwediga, Le, Agodzo, Tamene & Wala, 2018). از این رو، امروزه فرسایش خاک به طور گسترده‌ای توسط مدل راسل محاسبه می‌شود (Paul, Techen, Robinson & Helming, 2019).

با توجه به موارد فوق و مطابق جدول ۱ داده‌های مورد استفاده از تصاویر ماهواره‌ای مادیس^۳ (ذرات معلق، دمای سطح، تنوع زیستی)، ماهواره سنتینل و گوست^۴ (گازهای گلخانه‌ای متان و دی‌اکسید کربن)، تصاویر ماهواره‌ای GPM و Trmm و شبیه‌سازی پنج‌روزه ناسا^۵ (بارش)، ماهواره گریس^۶ (آب‌های زیر زمینی)، نقشه خاک فائو^۷، نقشه مدل رقومی ارتفاع ایران و مدل راسل^۸ (فرسایش خاک) از طریق کد نویسی در محیط ابری گوگل ارث انجین^۹ به دست آمد. به طور کلی در بحث داده‌های مورد استفاده امروزه استفاده از تصاویر ماهواره‌ای در تکمیل و ارائه داده‌های محیط‌زیستی به طور خاص در پایش آلودگی هوا (Han et al, 2015; Kloog et al., Rozenstein et al., 2014; Weng, Fu & Karimian et al., 2016; Chudnovsky, 2021; 2015), تغییرات اقلیمی (Gao, 2014; Ashouri et al., 2015; Kirschbaum et al., 2017; Yuan et al., 2018; Tang, Clark, Papalexioiu, Ma, & Hong, 2020), گازهای گلخانه‌ای (Yoshida et al., 2011; Saxena and Naik, 2019; Schneising et al., 2019) تنوع زیستی (Rannow & Neubert, 2014; Najafi, Darvishsefat, Fatehi & Attarod, 2020), منابع آب زیرزمینی (Feyisa, Meilby, Fensholt & Proud, 2014; Jiao, Zhang & Wang, 2015; Moshayedi & Jahangir, 2021;) و فرسایش خاک (Mohammadi et al., 2018; Teng et al., 2016; Lee et al., 2021) با توجه به تنوع اقلیم‌ها مورد توجه قرار گرفته است.

1. Soil Erosion
2. Land-use change
- 3 . MODIS
4. Sentinel & GOSAT
5. NASA Pentad Precipitation
6. Greece
7. FAO
8. RUSSEL
9. Google Earth Engine

جدول ۱- زمان و منبع جمع‌آوری داده‌های مورد استفاده

Table 1- Time and data collection source

| زمان Time | کیفیت (m) Quality | منبع جمع‌آوری Data collection Source | ماهواره Satellite | داده Data |
|-----------------------|-------------------------|---|------------------------|--|
| 2011.03.20-2022.03.20 | 1000 | "MODIS/006/MCD19A2_GRANULES" select('Optical_Depth_047') | Modis | ذرات معلق Particulate Matter |
| | 1000 | ("COPERNICUS/S5P/OFFL/L3_CH4") select('CH4_column_volume_mixing_ratio_d. ry_air') | Sentinel & Gosat | متان Methane کربن Carbon گازهای گلخانه‌ای Greenhouse Gases |
| | 5000 | ("UCSB-CHG/CHIRPS/PENTAD") | 5-day Nasa | بارش Rain تغییرات اقلیمی Climate Change |
| | 1000 | ("MODIS/006/MOD11A1") select('LST_Day_1km'). | Modis | دما Temp. |
| | | ('NASA/GLDAS/V022/CLSM/G025/DA1D') select('GWS_tavg') | Grace | آب‌های زیر زمینی Groundwater |
| | 250 | ("MODIS/006/MOD13Q1") select('NDVI'). | Modis | تنوع زیستی Biodiversity |
| | 5000 | ("UCSB-CHG/CHIRPS/PENTAD") | 5-day Nasa | باران Rain |
| | 250 | ("MODIS/006/MOD13Q1") select('NDVI'). | Modis | پوشش گیاهی Vegetation Cover فرسایش خاک راسل |
| | 30 | DEM | DEM | توپوگرافی Topography Soil erosion by the RUSLE model |
| | 30 | DEM | DEM | حفاظت Conservation |
| | 30 | DSMW | FAO Soil Map | خاک Soil |

در ادامه برای نشان دادن الگوهای فضایی موجود در داده‌های تحقیق از آزمون Getis استفاده شد. تحلیل لکه‌های داغ آماره (Getis-Ord) می‌تواند مناطقی را که میانگین محلی آن‌ها بیشتر از میانگین کل است مشخص کند (Getis & Ord, 1996). این ابزار نه تنها برای تأیید یا رد وجود خودهمبستگی فضایی محلی است، بلکه اطلاعات قابل نقشه شدن را برای بصری کردن داده‌ها فراهم می‌کند (Carroll, Reid & Smith, 2008; Hinman, 2017). از این رو به منظور بررسی ترکیب حوزه فضایی طبق رابطه ۱ از آماره گتیس استفاده شد.

$$Gi^* = \frac{\sum_{j \neq i} w_{ij} x_j - w_i \bar{x}}{\sqrt{\frac{ns_{1i} - w_i^2}{n-1}}} \quad \text{رابطه ۱}$$

در رابطه فوق w_{ij} یک وزن مکانی است و مناطق همسایه i را تعریف می‌کند، w_i مجموع وزنی مکانی w_{ij} است. در گام آخر از دیدگاه پسا اثبات‌گرایی^۱ برای اثبات نظریه آسیب‌پذیری با بررسی داده‌های محیط‌زیست در ابعاد حساسیت و در معرض خطر بودن استفاده شد.

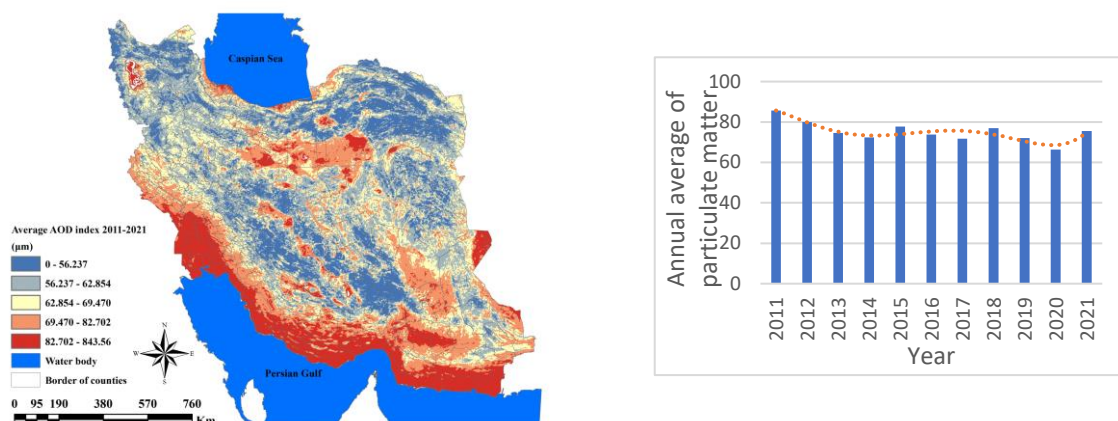
۳. نتایج و بحث

ابتدا یافته‌ها حول چند محور کلیدی به صورت توصیفی از روند و الگوی فضایی پارامترهای آلودگی هوا، گازه‌های گلخانه‌ای، تغییرات اقلیمی، آب‌های زیرزمینی، تنوع زیستی، فرسایش خاک ارائه، سپس نتایج آزمون آماری خودهمبستگی فضایی گتیس در بعد میانگین سالانه هر پارامتر (برای نشان دادن شهرستان‌های در معرض آسیب‌پذیری و شناسایی محیط‌های آسیب‌پذیر)، عرضه و در انتها میزان رشد سالانه هر پارامتر (برای نشان دادن حساسیت) ارائه می‌شود.

۳-۱ یافته‌های وضعیت محیط‌زیست ایران

گردوغبار:

نتایج **شکل ۲** نشان می‌دهد که به طور خاص ذرات معلق ایران در نوار مرزی غرب تا جنوب غرب، جنوب و جنوب شرق را پوشش می‌دهد که دریاچه ارومیه و دو کانون مرکزی ذرات معلق در مرکز کشور نیز قابل مشاهده است. علاوه بر این، نتایج میانگین کشوری ذرات معلق نشان می‌دهد در سال ۱۳۹۰ میانگین سالانه شاخص ذرات معلق ۸۵/۷۲ بود که در سال ۱۳۹۴ به مقدار ۷۷/۷۸ و در سال ۱۴۰۰ به مقدار ۷۵/۵۹ کاهش می‌یابد. همچنین در سال ۱۳۹۰ شهرستان ارسنجان فارس با میانگین ۱۴۵ میکرون آلوده‌ترین شهرستان ایران و شهرستان بهار استان فارس با مقدار میانگین ۱۴ پاک‌ترین شهرستان کشور بوده است. باین حال در سال ۱۴۰۰ شهرستان بندرلنگه، استان هرمزگان با مقدار ۱۵۵ آلوده‌ترین و شهرستان بردسیر، استان کرمان با میانگین ۲۶/۵۵ میکرون پاک‌ترین شهرستان ایران بوده است.



میانگین ده‌ساله ذرات معلق

روند میانگین ده‌ساله ذرات معلق

The 10-year average of particulate matter

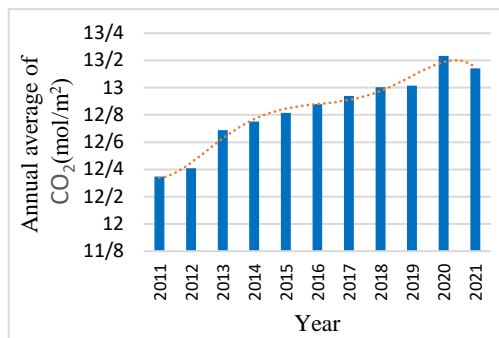
The 10-year trend of particulate matter

شکل ۲- الگوی فضایی و روند تغییرات میانگین ذرات معلق کشور ایران طی سال‌های ۱۳۹۰ تا ۱۴۰۰

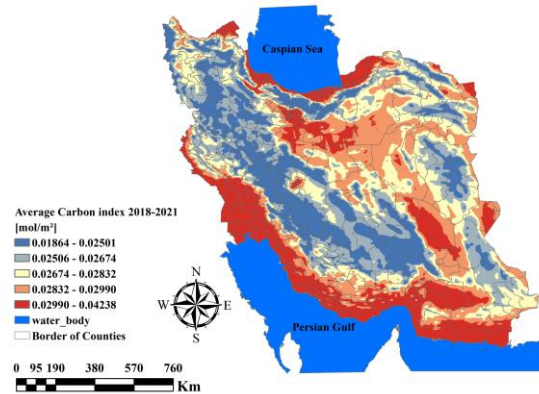
Fig.2. The Spatial pattern and trend of changes in the average particulate matter across Iran from 2011 to 2021

گازهای گلخانه‌ای:

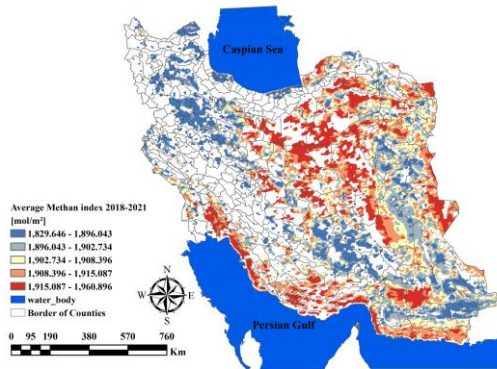
توزیع گاز گلخانه‌ای دی‌اکسید کربن در کشور مطابق شکل ۳ است. به طوری که شهرستان‌های نوار غرب تا جنوب و جنوب شرق و نوار شمالی کشور به همراه نقاط مرکزی کانون اصلی انتشار گاز گلخانه‌ای کربن پایه بوده است. علاوه بر این روند سالانه انتشار دی‌اکسید کربن نیز نشان می‌دهد که انتشار آن از سال ۱۳۹۰ با میانگین ۱۲/۳۴ به میانگین ۱۳/۲۴ در سال ۱۴۰۰ رسیده است. به طور کلی نتایج نشان می‌دهد میانگین انتشار دی‌اکسید کربن با گذشت زمان در حال افزایش است و شهرستان‌های نوار شمالی، نوار غرب تا جنوب شرق و مرکزی بالاترین میانگین انتشار دی‌اکسید کربن را به خود اختصاص داده و به عنوان کانون اصلی انتشار دی‌اکسید کربن حائز اهمیت هستند. علاوه بر این نتایج انتشار گاز متان (شکل ۳) نیز نشان می‌دهد شهرستان‌های مرکزی به سمت شمال شرق و شرق، نوار جنوب غرب تا جنوب و جنوب شرق به همراه نوار شرق تا شمال شرق کشور بیشترین مقدار انتشار گاز متان را به خود اختصاص داده‌اند. در مقابل شهرستان‌های نوار شمالی، شمال غرب و شهرستان‌های غربی کمترین مقدار انتشار را داشته‌اند. نتایج روند سالانه انتشار دی‌اکسید کربن نیز نشان می‌دهد که از سال ۱۳۹۰ با مقدار میانگین ۱۹۰۵ تا سال ۱۳۹۴ با مقدار ۱۹۴۱ روند انتشار افزایشی و بعد از آن تا سال ۱۳۹۷ (تقریباً مصادف با همه‌گیری کووید ۱۹) با مقدار ۱۸۲۷ انتشار دی‌اکسید کربن به صورت میانگین کاهشی و مجدداً روند افزایش می‌یابد؛ به طوری که در سال ۱۴۰۰ به مقدار میانگین ۱۹۰۷ می‌رسد.



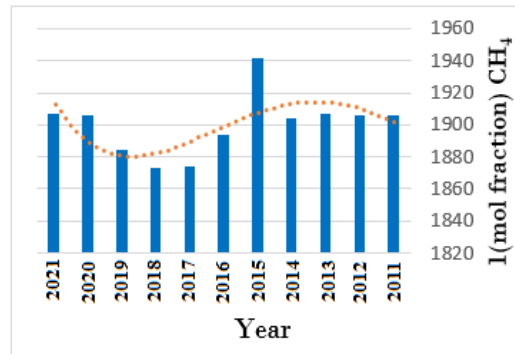
روند میانگین ده ساله دی اکسید کربن
The 10-year trend of CO₂



نقشه میانگین ۴ ساله دی اکسید کربن
The 4-year average map of CO₂



نقشه میانگین ۴ ساله متان
The 4-year average map of CH₄



روند میانگین ده ساله متان
The 10-year trend of CH₄

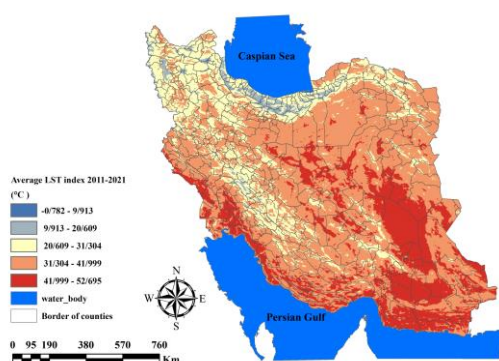
شکل ۳- الگوی فضایی و روند تغییرات میانگین گازهای گلخانه‌ای (کربن و متان) کشور ایران طی سال‌های ۱۳۹۰ تا ۱۴۰۰

Fig.3. The spatial pattern and trend of changes in the average greenhouse gases(CO₂ & CH₄) across Iran from 2011 to 2021.

تغییرات اقلیمی:

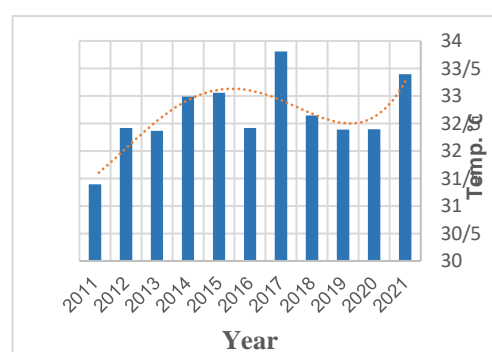
نتایج شکل ۴ نشان می‌دهد به‌طورکلی شهرستان‌های نوار غرب، جنوب غرب، جنوب، جنوب شرق و شهرستان‌های مرکزی تا شرق از دمای بیشتری برخوردار هستند. در مقابل، شهرستان‌های شمالی، شمال غرب از دمای کمتری برخوردار هستند. نتایج همچنین نشان می‌دهد که میانگین دمای سطح کشور از ۳۱/۳۹ درجه سانتی‌گراد در سال ۱۳۹۰ به ۳۳/۸۰ سانتی‌گراد در سال ۱۳۹۶ که گرم‌ترین سال ایران بوده و ۳۳/۳۹ درجه در سال ۱۴۰۰ افزایش یافته است به‌طوری‌که میانگین دمای کشور ۲ درجه سانتی‌گراد در طول دوره موردبررسی

افزایش یافته است. از مهم‌ترین پیامد اصلی افزایش دما در یک منطقه جغرافیایی می‌توان به تغییرات اقلیمی گسترده اشاره کرد. علاوه بر این، نتایج شکل ۴ نشان می‌دهد الگوی بارش کشور ایران پراکنده و از نابرابری گسترده‌ای برخوردار است. به طوری که در شهرستان‌های نوار شمالی و نوار غربی کشور شاهد میانگین بارش خوب و در شهرستان‌های شرقی، جنوب شرق، شمال شرق و مرکز میانگین بارش کمتر از استانداردهای ممکن است. علاوه بر این روند تغییرات میانگین بارش سالانه نیز نشان می‌دهد که میانگین بارش کل کشور از سال ۱۳۹۰ با مقدار ۲۳۲ میلی‌متر به ۳۱۲ میلی‌متر در سال ۱۳۹۷ افزایش یافته و در سال ۱۴۰۰ با مقدار میانگین بارش ۱۹۵ میلی‌متری به پایین‌ترین حد خود در دوره مورد مطالعه رسیده است.



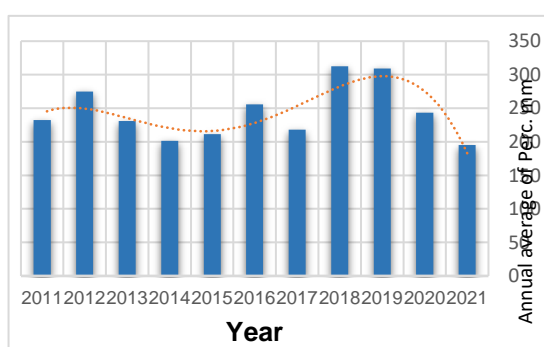
نقشه میانگین ده‌ساله دمای سطح

The 10-year average surface temperature map



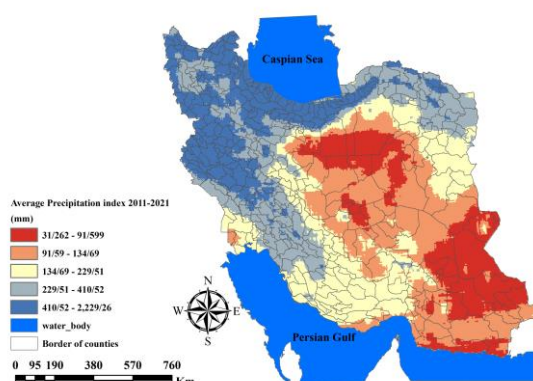
روند میانگین ده‌ساله دمای سطح

The 10-year trend of average surface temperature



روند میانگین ده‌ساله بارش

The 10-year trend of average precipitation



نقشه میانگین ده‌ساله بارش

The 10-year average precipitation map

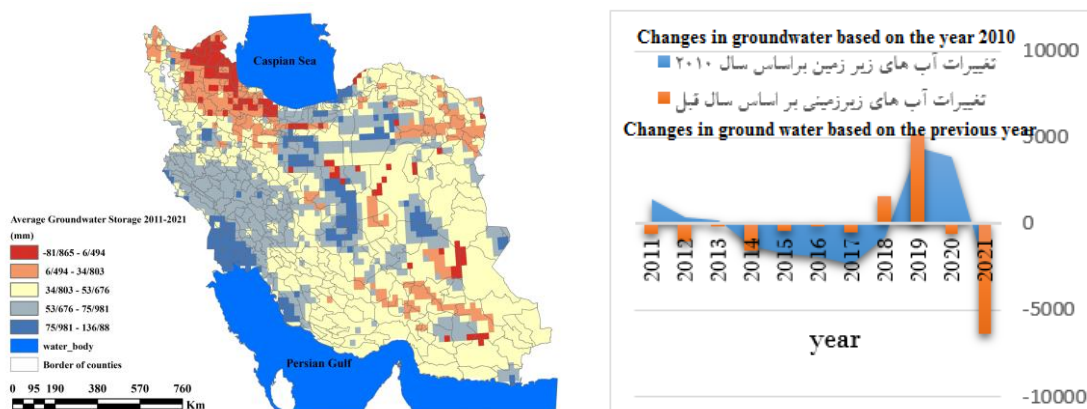
شکل ۴- الگوی فضایی و روند میانگین تغییرات اقلیمی (دما و بارش) کشور ایران طی سال‌های ۱۳۹۰ تا

۱۴۰۰

Fig.4. The spatial pattern and trend of average climatic changes (Temperature and Precipitation) across Iran from 2011 to 2021

منابع آب زیر زمینی:

شکل ۵ نشان می‌دهد که در سال ۱۳۹۰ شاخص آب‌های زیر زمینی به نسبت سال ۱۳۸۹ یعنی سال مبنا ۱۴۵۶ میلی متر مثبت بوده و بعد از آن به ۲۳۶۹ میلی متر منفی در سال ۱۳۹۶ می‌رسد. به سبب سیلاب سال ۱۳۹۸ شاخص به ۴۴۲۵ میلی متر افزایش و بعد از آن به ۲۵۴۰ میلی متر منفی در سال ۱۴۰۰ کاهش یافت. نتایج مقایسه شهرستانی نیز نشان می‌دهد در سال ۱۳۹۰ عباس آباد استان مازندران با ۳۳ میلی متر منفی بیشترین کاهش و شهرستان لنگرود استان گیلان با ۴۷ میلی متر مثبت بیشترین افزایش را داشته‌اند؛ اما با بررسی این نتایج در سال ۱۴۰۰ نتایج می‌توان روند کاهشی آب‌های زیر زمینی را بهتر درک کرد. به طوری که شهرستان تنکابن استان مازندران با ۲۵۵ میلی متر منفی بیشترین کاهش و شهرستان هویزه با ۲۰ میلی متر مثبت بیشترین افزایش آب‌های زیر زمینی را داشته که مقایسه مقادیر بیشینه و کمینه شهرستانی نشان از کاهش گسترده آب‌های زیر زمین کشور طی دوره مورد مطالعه دارد. علاوه بر این مطالعه الگوی فضایی موجود در این رابطه نشان می‌دهد کاهش سطح آب‌های زیر زمینی در مناطق شمالی، شمال غرب، جنوب و شمال شرق کشور به واسطه کاهش بارش‌ها و افزایش بیش از حد برداشت آب‌های زیر زمینی به یک چالش جدی در کشور تبدیل شده است. چراکه کاهش آب‌های زیر زمینی با کاهش رطوبت خاک، افزایش تغییرات اقلیمی، فرو نشست گسترده زمین همراه است.



نقشه میانگین ده‌ساله منابع آب زیر زمینی

The 10-year trend of average groundwater

شکل ۵- الگو و روند میانگین تغییرات منابع آب زیر زمینی کشور ایران طی سال‌های ۱۳۹۰ تا ۱۴۰۰ بر

مبنای سال ۱۳۸۹

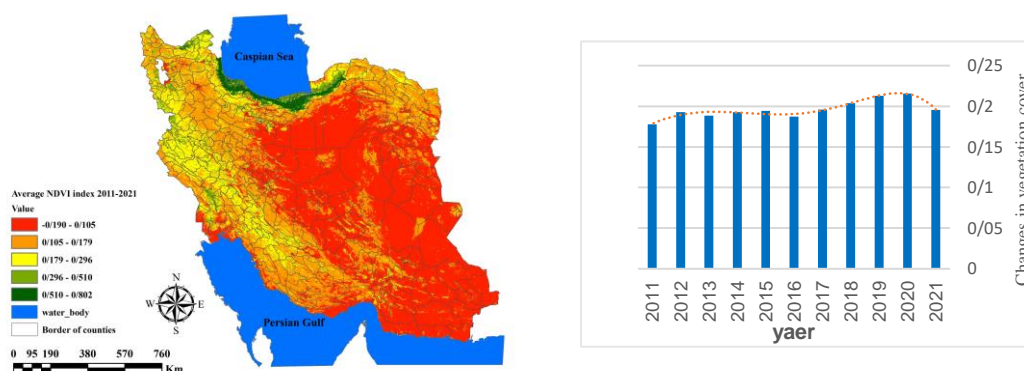
روند میانگین ده‌ساله منابع آب زیر زمینی

The 10-year trend of average groundwater

Fig.5. The spatial pattern and trend of average groundwater across Iran from 2011 to 2021

تنوع زیستی:

نتایج شکل ۶ نشان می‌دهد که نوار شمالی کشور به واسطه پوشش گیاهی نرمال شده بالاتر امکان زیست گونه‌های بیشتر گیاهی و جانواری را به نسبت سایر مناطق فراهم می‌کند. علاوه بر این از شمال غرب تا بخش‌های انتهایی جنگل‌های زاگرس در استان لرستان نیز می‌توان پوشش گیاهی نرمال شده مناسبی را هرچند ضعیف‌تر از نوار شمالی مشاهده کرد که شرایط قابل قبولی را برای زیست انواع موجودات زنده فراهم نموده است. سایر مناطق کشور به شدت از ضعف پوشش گیاهی نرمال شده و تنوع زیستی پایین رنج می‌برند. علاوه بر این همان‌طور که روند تغییرات میانگین سالانه در شکل ۶ نیز نشان می‌دهد در سال ۱۳۹۰ شاخص پوشش گیاهی نرمال شده از مقدار ۰/۱۷ به مقدار ۰/۲۱ در سال ۱۳۹۸ و مقدار ۰/۱۹ در سال ۱۴۰۰ افزایش یافته است. به طوری که مقایسه نتایج شهرستانی نشان می‌دهد شهرستان فهرج استان کرمان با مقدار ۰/۰۵۷ ضعیف‌ترین تنوع زیستی و شهرستان عباس‌آباد مازندران با مقدار ۰/۶۱ بهترین تنوع زیستی را به خود اختصاص می‌دهد. همچنین در سال ۱۴۰۰ شهرستان فهرج با مقدار ۰/۰۶ هنوز ضعیف‌ترین تنوع زیستی و شهرستان عباس‌آباد با افزایش چند صدم درصدی با مقدار ۰/۶۷ بهترین تنوع زیستی و پوشش گیاهی نرمال شده را به خود اختصاص داده است.



نقشه میانگین ده‌ساله تنوع زیستی
The 10-year trend of average biodiversity

روند میانگین ده‌ساله تنوع زیستی
The 10-year trend of biodiversity

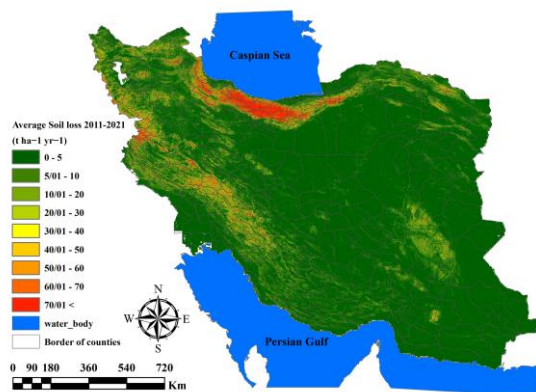
شکل ۶- الگو و روند میانگین تغییرات تنوع زیستی کشور ایران طی سال‌های ۱۳۹۰ تا ۱۴۰۰

Fig.6. The spatial pattern and trend of average biodiversity across Iran from 2011 to 2021

فرسایش خاک:

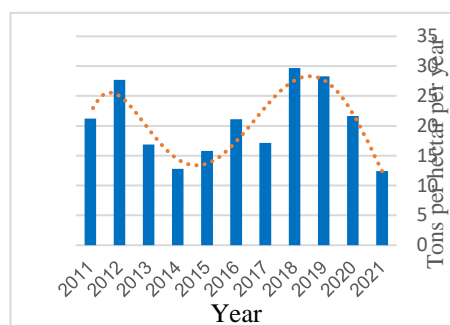
به‌طور کلی الگوی فضایی فرسایش خاک مطابق نتایج شکل ۷، سه کانون نوار شمالی کشور، نوار غربی و منطقه کویری و جنوب شرق کشور را به‌عنوان کانون‌های اصلی فرسایش خاک شناسایی کرد. علاوه بر این نتایج روند تغییرات فرسایش خاک نیز نشان می‌دهد در سال ۱۳۹۰ به‌طور میانگین ۲۱ تن بر هکتار بر سال فرسایش خاک در ایران وجود دارد که این مقدار به ۲۹ تن بر هکتار بر سال برای سال ۱۳۹۷ افزایش پیدا می‌کند و در سال ۱۴۰۰ به ۱۲ تن بر هکتار بر سال می‌رسد که می‌تواند پیامدهای اقتصادی، اجتماعی و سیاسی گسترده‌ای در پی

داشته باشد. علاوه بر این می‌توان اشاره کرد که به‌طور متوسط از سال ۱۳۹۰ تا ۱۴۰۰ در حدود ۲۰/۴۲ تن بر هکتار بر سال فرسایش خاک وجود داشته که مجموع خاک از دست رفته در این دوره به‌طور متوسط برای هر سال معادل ۲۵۴۲۹۲۰۴۴۰ تن است.



نقشه میانگین ده‌ساله فرسایش خاک

The 10-year trend of average soil erosion



روند میانگین ده‌ساله فرسایش خاک

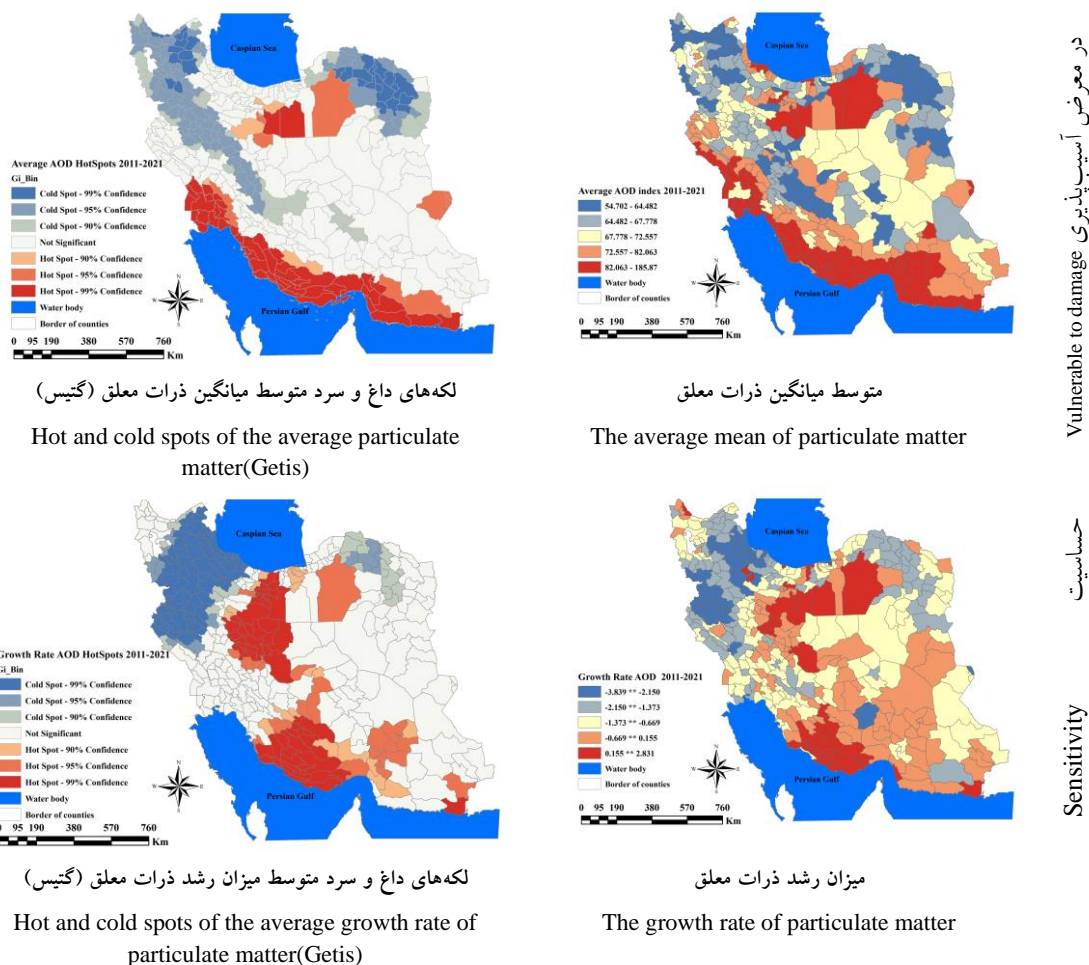
The 10-year trend of soil erosion

شکل ۷- الگو و روند میانگین تغییرات فرسایش خاک کشور ایران طی سال‌های ۱۳۹۰ تا ۱۴۰۰

Fig.7. The spatial pattern and trend of average soil erosion across Iran from 2011 to 2021

۲-۳ خود همبستگی فضایی گتیس

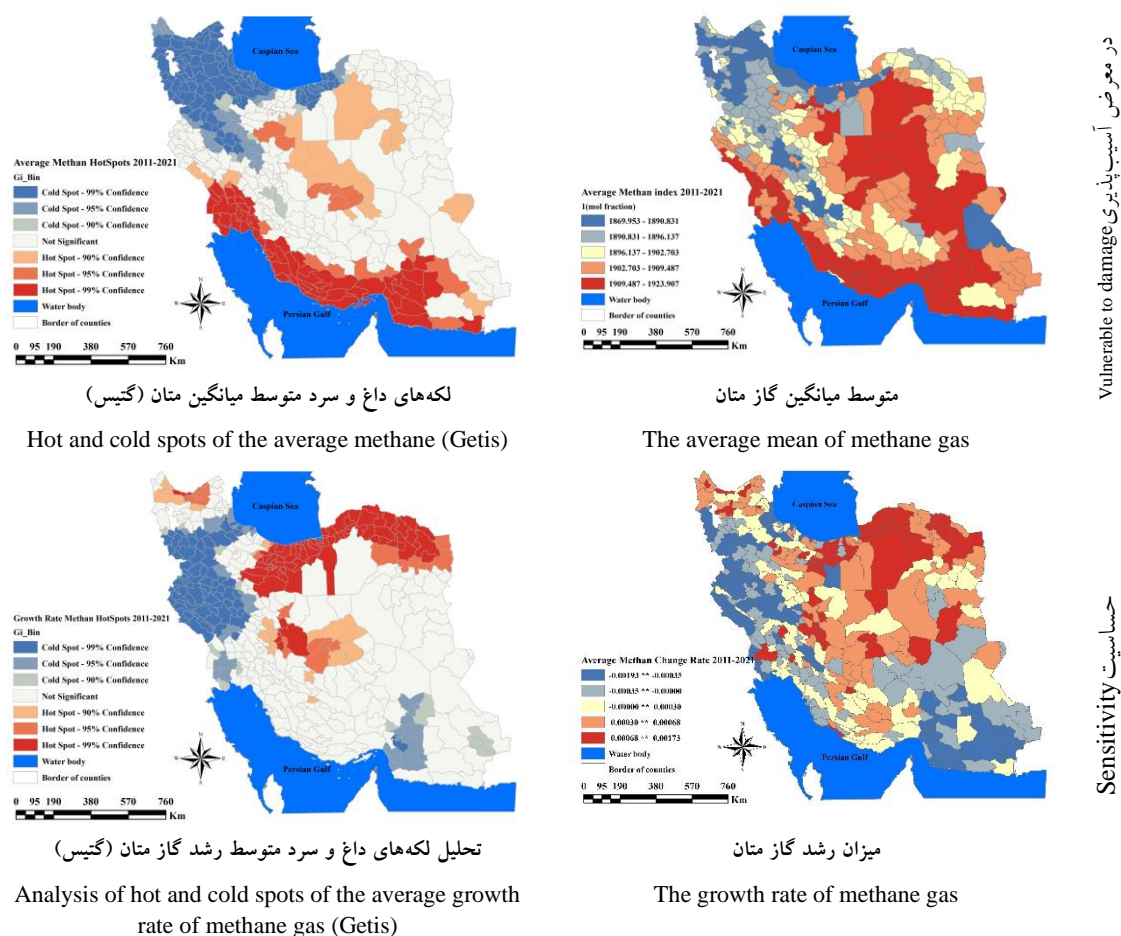
در بحث ذرات معلق به‌عنوان یکی از شاخص‌های کلیدی سنجش آلودگی هوای کمتر از ۲/۵ میکرون و شاخص گرد و غبار با قطر ۱۰ میکرون، نتایج مطابق شکل ۸ در ارتباط با نقشه میانگین سالانه نشان داد که شهرستان‌های نوار جنوب غرب تا جنوب و جنوب شرق و شهرستان‌های مرکزی تمرکز بیشترین انتشار ذرات معلق را دارند. در همین راستا آزمون آماری گتیس نیز این مجموعه شهرستان‌ها را به‌عنوان مناطق در معرض آسیب‌پذیر ناشی از انتشار ذرات معلق شناسایی می‌کند. علاوه بر این نتایج میزان رشد انتشار سالانه نیز نشان می‌دهد که در شهرستان‌های غرب و شمال غرب (رنگ آبی) با میزان رشد منفی بین ۳/۸۳ تا ۲/۱۵ شاهد کاهش ذرات معلق و در مقابل در شهرستان‌های جنوبی و مرکزی و شمالی تا شمال شرق به‌صورت یک نوار ممتد با میزان رشد ۰/۱۵۵ تا ۲/۸۳ بیشترین میزان رشد ذرات معلق قابل مشاهده است. به همین ترتیب، آزمون گتیس نیز نشان دهنده شکل‌گیری لکه داغ در نوار شمال تا جنوب به‌عنوان کانون اصلی مناطق حساس به آسیب‌پذیری می‌باشد. ذکر این نکته ضروری است که شهرستان‌های جنوب و مرکز به سمت شمال [مناطق مشترک بین میزان و میانگین] که هم رشد انتشار بیشتر و هم میانگین انتشار بیشتری دارند مناطق با ریسک بالا خواهند بود.



شکل ۸- نقشه میانگین، میزان رشد و شاخص خودهمبستگی فضایی ذرات معلق طی سال‌های ۱۳۹۰-۱۴۰۰

Fig.8. The map of the average, growth rate and spatial autocorrelation index of particulate matter from 2011 to 2021

همان‌طور که نتایج شکل ۹ نشان می‌دهد در ارتباط با نتایج میانگین گاز گلخانه‌ای متان شهرستان‌های مرکزی و نوار جنوب غرب تا جنوب و جنوب شرق کانون اصلی انتشار گاز متان و مناطق آسیب‌پذیر را تشکیل می‌دهند که نتایج آزمون گتیس نیز تمرکز لکه داغ در این مناطق به‌عنوان شهرستان‌های در معرض آسیب‌پذیر را تأیید می‌کند. همچنین در ارتباط با میزان رشد انتشار متان نیز شهرستان‌های شمالی، شمال شرق و مرکز بیشترین میزان تغییرات بین (۰/۰۰۰۳ تا ۰/۰۰۱۷) به‌عنوان شهرستان‌های حساس به آسیب‌پذیری را نشان می‌دهد که نتایج آزمون خود همبستگی فضایی گتیس نیز شکل‌گیری لکه‌های داغ با بیشترین میزان رشد انتشار متان در شهرستان‌های نوار شمالی، مرکزی و شمال شرق کشور به‌عنوان مناطق حساس را تأیید می‌کند. علاوه بر این، شهرستان‌های مرکزی با رشد و میانگین انتشار بالا به‌عنوان مناطق پر مخاطره در انتشار گاز گلخانه‌ای متان شناسایی می‌گردد.



شکل ۹- نقشه میانگین، میزان رشد و شاخص خودهمبستگی فضایی گاز گلخانه‌ای متان طی سال‌های ۱۳۹۰-۱۴۰۰

۱۴۰۰

Fig.9. The map of the average, growth rate, and spatial autocorrelation index of methane greenhouse gas from 2011 to 2021.

علاوه بر این در رابطه با گاز دی‌اکسید کربن و مطابق نتایج شکل ۱۰ شهرستان‌های مرکزی به سمت شرق، جنوب و جنوب شرق با بیشترین میانگین انتشار دی‌اکسید کربن به‌عنوان مناطق در معرض آسیب‌پذیر شناسایی شد که نتایج آزمون گتیس نیز شکل‌گیری لکه‌های داغ با تمرکز بیشترین میانگین انتشار دی‌اکسید کربن را در این مناطق تأیید می‌کند. همچنین، نقشه میزان رشد تغییرات نشان می‌دهد که بیشترین میزان رشد تغییرات در شهرستان‌های شرقی، نوار جنوب تا غرب و نوار شمالی با میزان رشد بین ۰/۰۰۵۳ تا ۰/۰۲۱ بیشترین میزان انتشار گاز گلخانه‌ای دی‌اکسید کربن را تجربه کرده و به‌عنوان مناطق حساس آسیب‌پذیری معرفی می‌گردد. به همین ترتیب نتایج آزمون خود همبستگی فضایی گتیس نیز وجود لکه‌های داغ در نوار جنوب غرب تا جنوب و جنوب شرق و شرق را به‌عنوان کانون‌های حساس آسیب‌پذیری ناشی از انتشار گاز گلخانه‌ای دی‌اکسید

کربن تأیید می‌کند. علاوه بر این شهرستان‌های شرق و جنوب شرق به دلیل برخورداری از میزان رشد و میانگین انتشار بالا به‌عنوان مناطق پر مخاطره شناسایی می‌گردد.

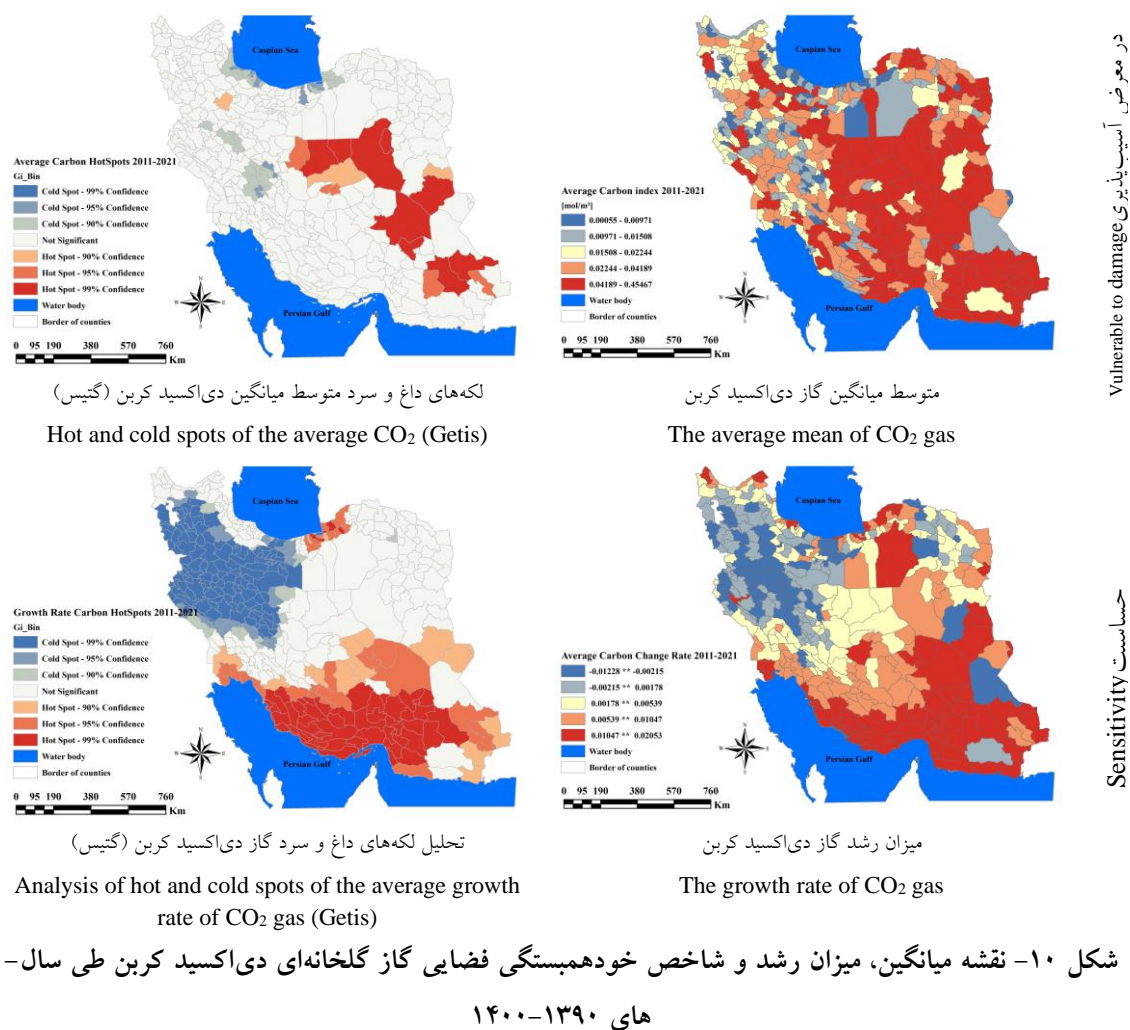
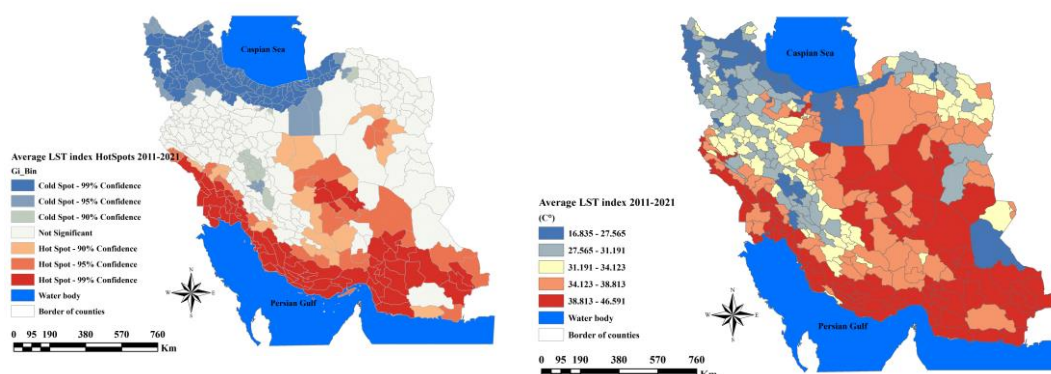


Fig.10. The map of the average, growth rate, and spatial autocorrelation index of CO₂ greenhouse gas from 2011 to 2021.

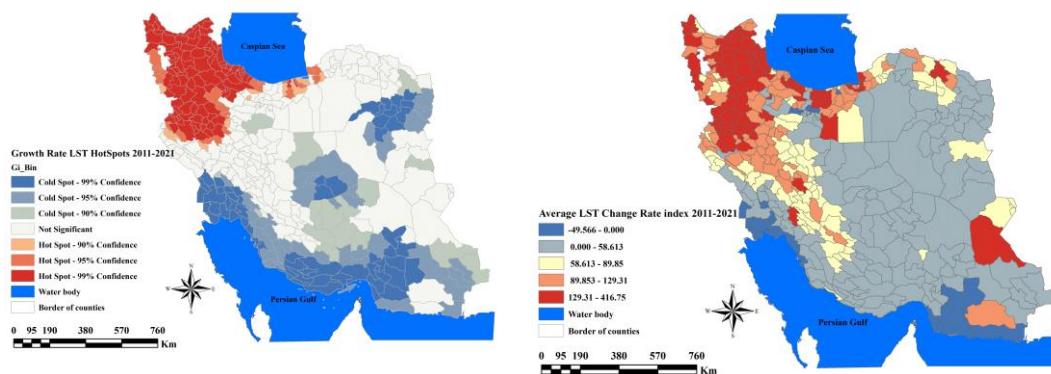
در ارتباط با پارامتر تغییرات اقلیمی که به‌وسیله دو مؤلفه دمای سطح و بارش عملیاتی می‌شود نیز نتایج شکل ۱۱ نشان داد در شهرستان‌های شمالی و شمال غرب با دامنه ۱۶/۸۳ تا ۳۱/۱۹ کمترین میانگین دما و شهرستان‌های نوار جنوب غرب تا جنوب و جنوب شرق، شرق، شمال شرق و مرکز بیشترین میانگین دما را دارند که نتایج آزمون خود همبستگی فضایی گتیس نیز با نشان دادن لکه‌های داغ در شهرستان‌های غرب، جنوب غرب، جنوب، جنوب شرق، شرق و مرکز به‌عنوان کانون اصلی گرما، در معرض آسیب‌پذیر بودن این مناطق را تأیید

می‌کند. علاوه بر این، نقشه میزان رشد دمای سالانه نشان می‌دهد که شهرستان‌های نوار شمالی، شمال غرب و غرب تمرکز لکه‌های داغ با بیشترین میزان رشد دما به‌عنوان شهرستان‌های مناطق حساس آسیب‌پذیری خواهند بود.



تحلیل لکه‌های داغ و سرد میانگین دمای سطح (گتیس)
Analysis of hot and cold spots of the average surface temperature (Getis)

میانگین دمای سطح
Average surface temperature



تحلیل لکه‌های داغ و سرد میزان رشد دمای سطح (گتیس)
Analysis of hot and cold spots of the growth rate of surface temperature (Getis)

میزان رشد دمای سطح
The growth rate of surface temperature

شکل ۱۱- نقشه میانگین، میزان رشد و شاخص خودهمبستگی فضایی تغییرات اقلیمی دما طی سال‌های ۱۳۹۰-

۱۴۰۰

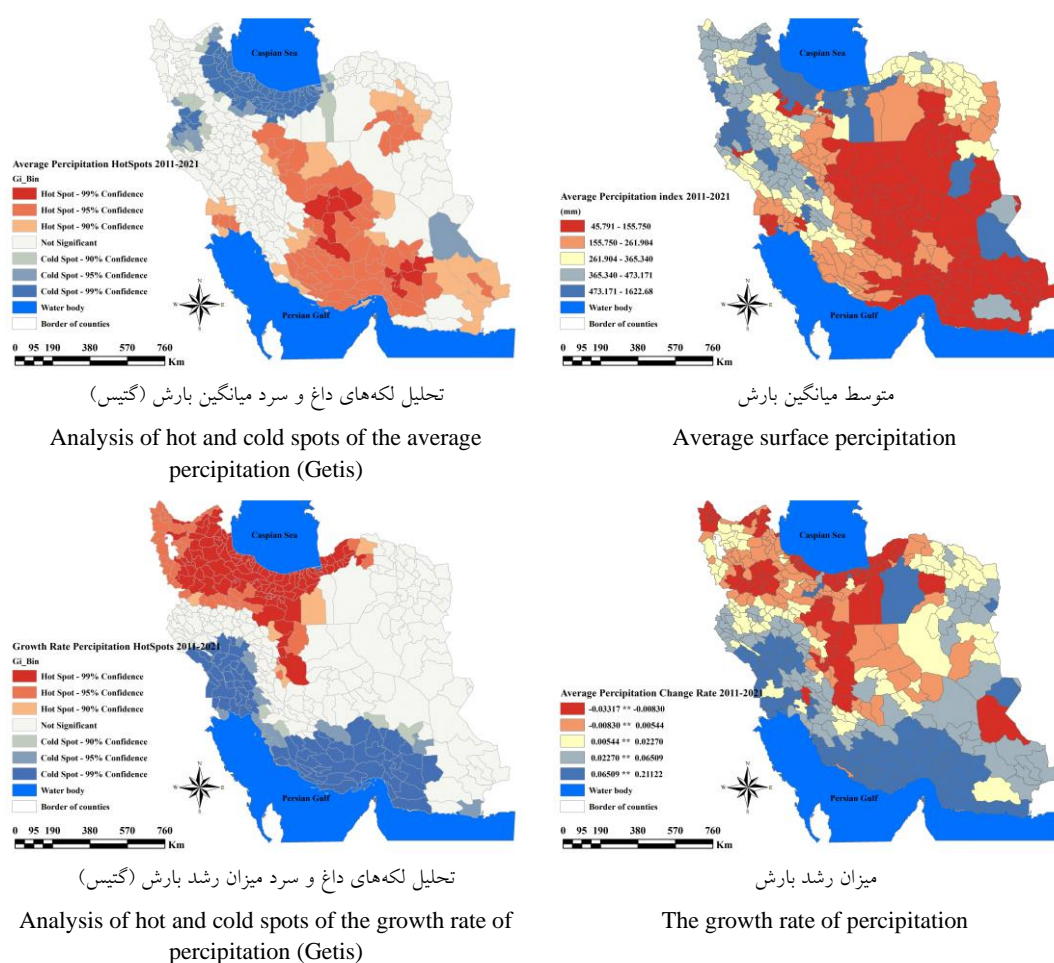
Fig.11. The map of the average, growth rate, and spatial autocorrelation index of climate change in temperature from 2011 to 2021.

علاوه بر این، برای مؤلفه بارش مطابق شکل ۱۲ متوسط بارش نشان می‌دهد در شهرستان‌های نوار شمالی و غربی کشور بیشترین میزان بارش و در شهرستان‌های نوار مرکزی تا جنوب و جنوب شرق کمترین میانگین

در معرض آسیب‌پذیری

حساسیت

بارش وجود دارد که نتایج آزمون گتیس نیز آسیب‌پذیری شهرستان‌های مرکز تا جنوب و جنوب شرق را به‌عنوان لکه داغ با کمترین بارش و شهرستان‌های در معرض آسیب‌پذیر تأیید می‌کند. در مقابل نقشه میزان رشد بارش نشان می‌دهد که الگوی کاهشی بارش در شهرستان‌های شمالی، شمال غرب و مرکز تا شرق با تمرکز لکه داغ و میزان رشد منفی بین ۰/۰۳ تا ۰/۰۸ به‌عنوان شهرستان‌های حساس به آسیب‌پذیری تأیید می‌شود. به‌طور کلی می‌توان از شهرستان‌های مرکزی با رشد منفی و میانگین کم بارش به‌عنوان شهرستان‌های پر مخاطره نام برد.



در معرض آسیب‌پذیری

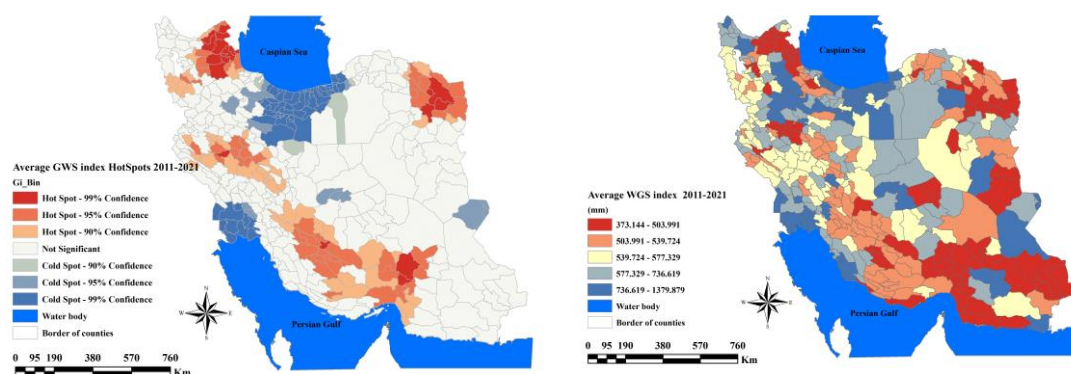
حساسیت

شکل ۱۲- نقشه میانگین، میزان رشد و شاخص خودهمبستگی فضایی تغییرات اقلیمی بارش طی سال‌های

۱۳۹۰-۱۴۰۰

Fig.12. The map of the average, growth rate, and spatial autocorrelation index of climate change in precipitation from 2011 to 2021.

در رابطه با تغییرات آب‌های زیرزمینی نیز مطابق نتایج شکل ۱۳ شهرستان‌های نوار شمالی، مرکز و جنوب غرب بیشترین میانگین آب‌های زیر زمینی و شهرستان‌های شمال غرب، شمال شرق و نوار غرب تا جنوب با کمترین میانگین آب‌های زیرزمینی شهرستان‌های در معرض آسیب‌پذیری خواهند بود؛ بنابراین، تمرکز لکه داغ با کمترین میانگین آب‌های زیرزمینی نیز آسیب‌پذیر بودن این شهرستان‌ها را تأیید می‌کند. علاوه بر این، نتایج میزان رشد سالانه نیز نشان می‌دهد که شهرستان‌های شمالی و شمال غرب و شمال شرق با میزان تغییرات منفی بین ۱/۴۵۳ تا ۰/۰۹۱۴ بیشترین کاهش منابع آبی زیرزمینی را تجربه کرده‌اند. به طوری که نتایج آزمون گتیس نیز وجود لکه‌های داغ در شهرستان‌های شمالی و شمال غرب به‌عنوان شهرستان‌های حساس به آسیب‌پذیری را تأیید می‌کند. به‌طور کلی شهرستان‌های شمال غرب، شمال شرق و جنوب کشور به‌عنوان شهرستان‌های با میانگین کم و رشد منفی به‌عنوان شهرستان‌های با مخاطره بالا شناسایی گردید.



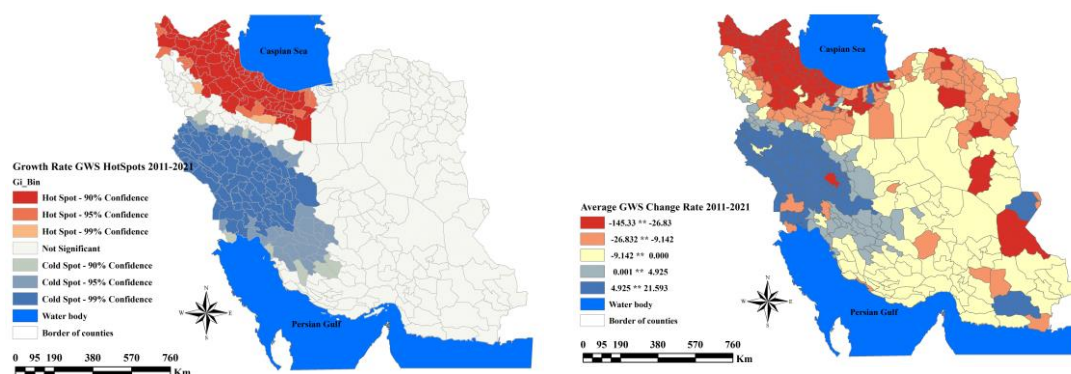
تحلیل لکه‌های داغ و سرد میانگین آب‌های زیرزمینی (گتیس)

Analysis of hot and cold spots of the average groundwater (Getis)

میانگین متوسط آب‌های زیرزمینی

Average surface groundwater

در معرض آسیب‌پذیری



تحلیل لکه‌های داغ و سرد آب‌های زیر زمینی (گتیس)

Analysis of hot and cold spots of the growth rate of groundwater (Getis)

میزان رشد آب‌های زیرزمینی

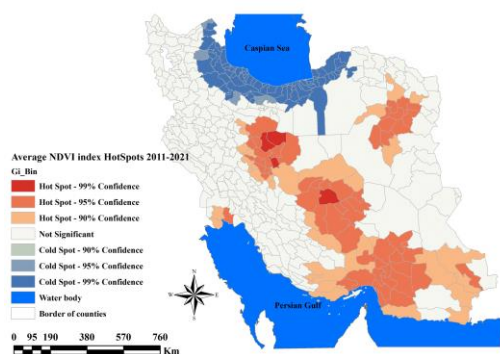
The growth rate of groundwater

حساسیت

شکل ۱۳- نقشه میانگین، میزان رشد و شاخص خودهمبستگی فضایی منابع آبی زیرزمینی طی سال‌های ۱۳۹۰-۱۴۰۰

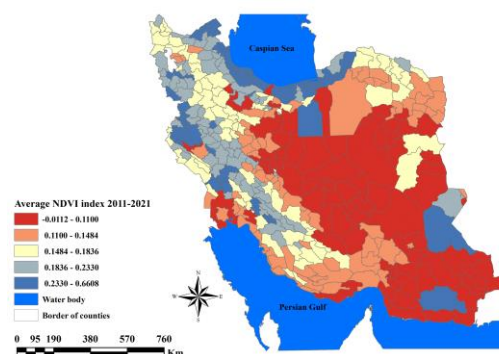
Fig.13. The map of the average, growth rate, and spatial autocorrelation index of groundwater resources from 2011 to 2021

پارامتر تغییر انوهی پوشش گیاهی یا پوشش گیاهی استاندارد شده، تنوع گونه‌های گیاهی را در یک منطقه خاص به تصویر می‌کشد. در همین راستا مطابق نتایج شکل ۱۴ نقشه میانگین تغییر انوهی پوشش گیاهی نشان می‌دهد شهرستان‌های مرکز به سمت شرق، جنوب و جنوب شرق کمترین میانگین تغییر انوهی پوشش گیاهی را دارند. به همین ترتیب، نتایج آزمون گتیس نیز تمرکز لکه‌های داغ را در این مناطق به‌عنوان شهرستان‌های در معرض آسیب‌پذیری تأیید می‌کند. درمقابل، نتایج میزان رشد تغییر انوهی پوشش گیاهی نیز نشان می‌دهد شهرستان‌های غربی، جنوب شرقی و مرکزی به سمت جنوب با رشد منفی بین ۱/۹۰۸ تا ۰/۰۰۱ تمرکز رشد منفی و کاهش تغییر انوهی پوشش گیاهی را به‌عنوان شهرستان‌های حساس به آسیب‌پذیری تأیید می‌کند که با توجه به میانگین پایین و میزان رشد منفی بالا تمرکز لکه‌های در معرض آسیب‌پذیری و حساس به آسیب‌پذیری را شکل می‌دهند. مضاف بر این از شهرستان‌های جنوب غرب و جنوب متمایل به شرق که میانگین پایین و رشد مثبت دارند به‌عنوان شهرستان‌های با عملکرد مناسب یاد می‌شود.



تحلیل لکه‌های داغ و سرد میانگین تنوع زیستی (گتیس)

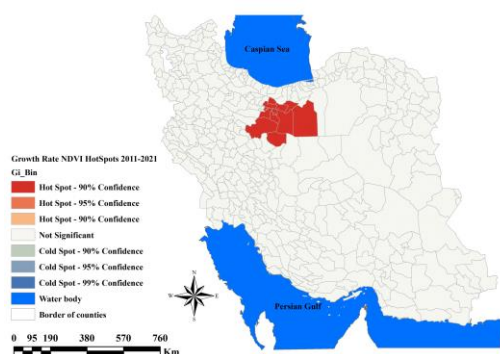
Analysis of hot and cold spots of the average biodiversity (Getis)



میانگین متوسط تنوع زیستی

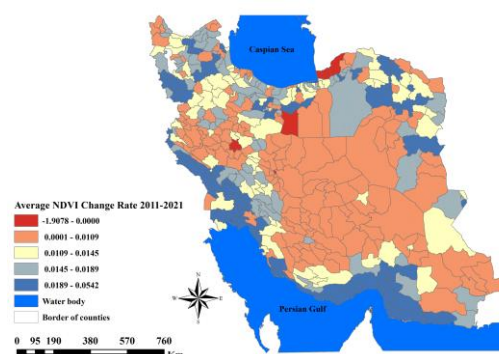
Average surface biodiversity

در معرض آسیب‌پذیری



تحلیل لکه‌های داغ و سرد رشد تنوع زیستی (گتیس)

Analysis of hot and cold spots of the growth rate of biodiversity (Getis)



میزان رشد تنوع زیستی

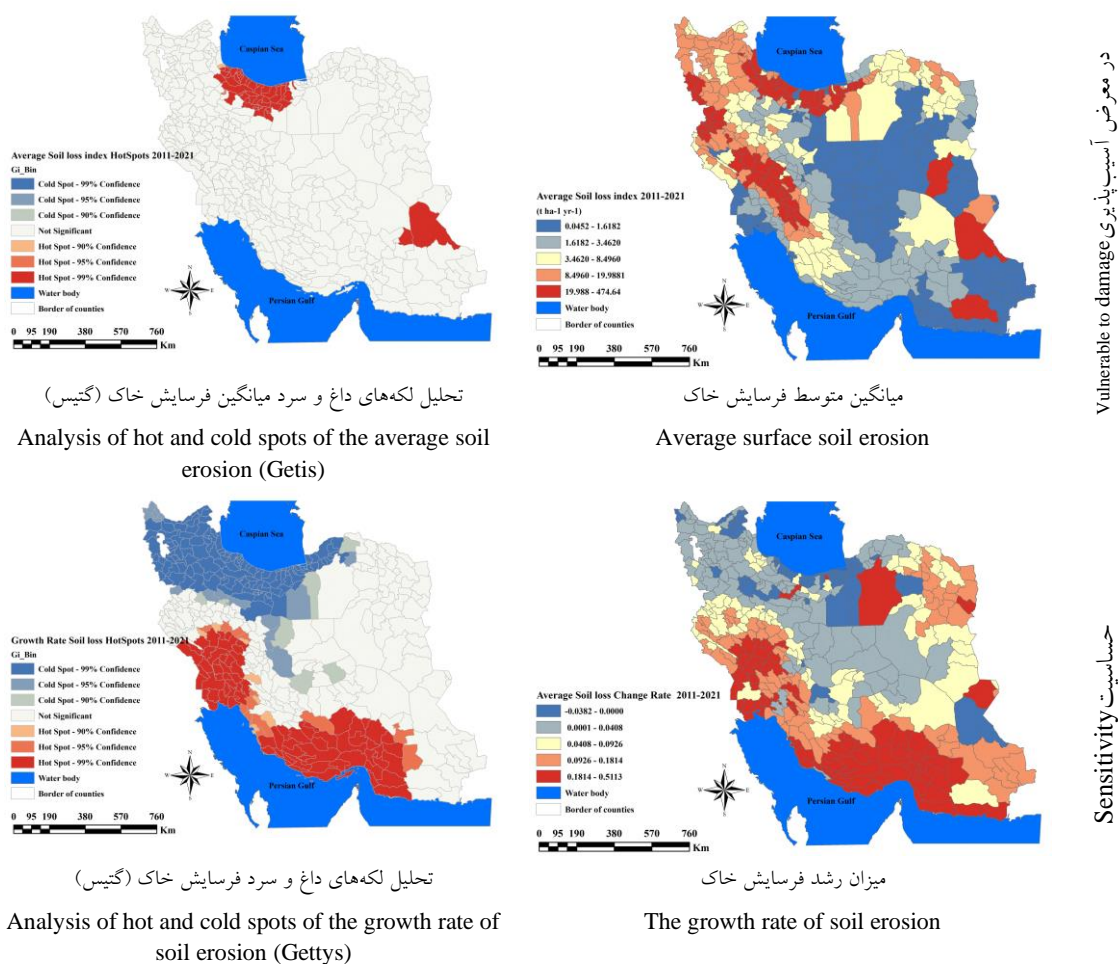
The growth rate of biodiversity

حساسیت

شکل ۱۴- نقشه میانگین، میزان رشد و شاخص خودهمبستگی فضایی تنوع زیستی طی سال‌های ۱۳۹۰-۱۴۰۰

Fig.14. The map of the average, growth rate, and spatial autocorrelation index of biodiversity from 2011 to 2021

همان‌طور که نتایج شکل ۱۵ در ارتباط با نقشه میانگین فرسایش خاک نشان می‌دهد شهرستان‌های نوار شمالی، شمال غرب و غرب بیشترین میانگین فرسایش خاک را دارند که نتایج گتیس نیز در معرض آسیب‌پذیری ناشی از فرسایش خاک در نوار شمال کشور را تأیید می‌کند. همچنین در ارتباط با رشد فرسایش خاک نیز نوار غرب تا جنوب غرب، جنوب و جنوب شرق بیشترین میزان رشد مثبت فرسایش خاک را دارند که آزمون گتیس نیز حساس به آسیب‌پذیر بودن این شهرستان‌ها را تأیید می‌کند. علاوه بر این شهرستان‌های غرب و جنوب غرب با میانگین بالا و رشد بالا به‌عنوان شهرستان‌های پر مخاطره شناسایی گردید.



شکل ۱۵- نقشه میانگین، میزان رشد و شاخص خودهمبستگی فضایی فرسایش خاک طی سال‌های ۱۳۹۰-۱۴۰۰

Fig.15. The map of the average, growth rate, and spatial autocorrelation index of soil erosion from 2011 to 2021

با توجه به اینکه ایستگاه‌های اندازه‌گیری زمینی پراکنده بوده و دسترسی به آمار آن‌ها معمولاً با تأخیر زمانی همراه است، وجود روش‌های دیگری برای برآورد داده‌های محیط‌زیستی ضروری به نظر می‌رسد (Ashouri, 2017; Kirschbaum et al., 2015; et al.). در این راستا اطلاعات ماهواره‌ای و سنجش‌ازدور می‌تواند جایگزین و یا مکمل مناسبی برای ایستگاه‌های زمینی در نظر گرفته شود. استفاده از داده‌های ماهواره‌ای امکان برآورد پارامترهای محیط‌زیستی در محدوده وسیعی از سطح زمین، به‌خصوص برای مناطق صعب‌العبور را امکان‌پذیر ساخته که این موضوع باعث توجه محققان به داده‌های ماهواره‌ای در سطح گسترده شده است (Ghajarnia, 2017; Liaghat & Arasteh, 2015; Kirschbaum et al., 2017).

علاوه بر این، روش‌های فضایی به دلیل استفاده از مقادیر محلی و عدم تمرکز بر میانگین‌ها قابلیت‌های فراوانی را در نشان دادن الگوهای مکانی سطح خرد و نوسانات واقعی مکانی دارند (Sadeghi, Mohamadi, 2022; Masiri & mohammadi, 2022). به همین دلیل قدرت و رابطه واقعی متغیرها را بهتر نشان می‌دهند؛ بنابراین در این تحقیق از روش خودهمبستگی فضایی گتیس و نظریه آسیب‌پذیری طی دوره ۱۳۹۰ تا ۱۴۰۰ برای ۳۹۷ شهرستان ایران استفاده شد.

همان‌طور که IPCC (IPCC, 2013 Solomon, 2007; Adger, 2006) و چمبرز (Chambers, 1989) اشاره می‌کنند آسیب‌پذیری از سه عنصر حیاتی قرار گرفتن در معرض، حساسیت و ظرفیت سازگاری تشکیل می‌شود. این تعریف چندبعدی آسیب‌پذیری خود در دو جنبه خارجی، شامل عناصر ساختاری مرتبط با قرار گرفتن در معرض خطر و حساسیت؛ و جنبه داخلی شامل توانایی پاسخگویی و مقابله با عوامل استرس‌زا بررسی می‌شود؛ بنابراین با تأکید بر جنبه خارجی آسیب‌پذیری وضعیت محیط‌زیست ایران در دو بعد قرار گرفتن در معرض خطر و حساسیت، می‌توان بسترها و زمینه‌های لازم برای ایجاد ظرفیت سازگاری محیط‌زیست [به‌طور خاص با تأکید بر نقش پویایی‌های جمعیتی] که همواره مهم‌ترین هدف شناخت محیط‌زیست بوده را افزایش داد.

در همین راستا، نتایج خودهمبستگی فضایی گتیس در ارتباط با بعد در معرض آسیب‌پذیری [یا خطر] نشان داد که برای شاخص آلودگی هوا شهرستان‌های نوار جنوب غرب تا جنوب و جنوب شرق و شهرستان‌های مرکزی، همسو با نتایج احمدی و درویش (Ahmadi & Darvish, 2022) و شایسته و غریبی (Shayesteh & Gharibi, 2022)؛ برای گاز گلخانه‌ای متان شهرستان‌های مرکزی و نوار جنوب تا جنوب شرق، همسو با عظمی و مطیعی (Azmi & Motiee, 2011) و شایسته و غریبی (Shayesteh & Gharibi, 2022)؛ برای گاز گلخانه‌ای دی‌اکسید کربن شهرستان‌های مرکزی به سمت شرق تا جنوب و جنوب شرق همسو با شایسته و غریبی (Shayesteh & Gharibi, 2022) و قنادی و همکاران (Ghannadi, Shahri & Moradi, 2022)؛ تغییرات اقلیمی ناشی از دما شهرستان‌های جنوب، جنوب غرب، شرق، جنوب شرق و مرکز، همسو با محمدی و همکاران

(Mohammadi et al., 2018) و رضانی و همکاران (Ramezani Khojeen, Kheirkhah Zarkesh & Daneshkar, 2016)؛ تغییرات اقلیمی ناشی از بارش شهرستان‌های مرکز تا جنوب و جنوب شرق، همسو با محمدی و همکاران (Mohammadi et al., 2018) و ذبیحی و همکاران (Zabihi, Sadeghi & Vafakhah, 2015)؛ آب‌های زیرزمینی شهرستان‌های شمال غرب تا شمال شرق و نوار غرب تا جنوب، همسو با فروتن و همکاران (Ferootan et al., 2014) و فرخ نیا و مرید (Farokhnia & Morid, 2014)؛ تنوع زیستی شهرستان‌های مرکز به سمت شرق، جنوب و جنوب شرق، همسو با محمدی و همکاران (Mohammadi et al., 2018)؛ فرسایش خاک شهرستان‌های نوار شمالی، شمال غرب و غرب، همسو با محمدی و همکاران (Mohammadi et al., 2018) با میانگین بالای تخریب در معرض آسیب‌پذیری [یا خطر] قرار دارند.

علاوه بر این، نتایج خودهمبستگی فضایی گتیس در ارتباط با بعد حساسیت نیز تأیید می‌کند که برای شاخص آلودگی هوا شهرستان‌های جنوب، مرکز و شمال به صورت یک خط ممتد؛ برای گاز گلخانه‌ای متان شهرستان‌های شمالی، شمال شرق و مرکز؛ برای گاز گلخانه‌ای دی‌اکسید کربن شهرستان‌های شرق، نوار جنوب تا غرب و نوار شمالی؛ برای تغییرات اقلیمی ناشی از دما شهرستان‌های نوار شمالی، شمال غرب و غرب؛ برای تغییرات اقلیمی ناشی از بارش شهرستان‌های شمالی، شمال غرب مرکز تا شرق؛ برای آب‌های زیرزمینی شهرستان‌های شمالی و شمال غرب؛ برای تنوع زیستی شهرستان‌های مرکزی به سمت جنوب؛ برای فرسایش خاک شهرستان‌های نوار غرب تا جنوب غرب و جنوب شرق با رشد بالای تخریب در وضعیت حساس آسیب‌پذیری قرار دارند.

به‌طور کلی مقایسه نتایج آزمون‌های خودهمبستگی فضایی ابعاد آسیب‌پذیری حساسیت و قرار گرفتن در معرض خطر نیز نشان می‌دهد که برای شاخص آلودگی هوا شهرستان‌های جنوبی و مرکزی به سمت شمال؛ برای گاز گلخانه‌ای دی‌اکسید کربن شهرستان‌های مرکزی؛ برای تغییرات اقلیمی ناشی از دما شهرستان‌های شرق، جنوب شرق؛ برای تغییرات اقلیمی ناشی از بارش شهرستان‌های مرکزی؛ برای آب‌های زیرزمینی شهرستان‌های شمال غرب، شمال شرق و جنوب کشور؛ برای تنوع زیستی شهرستان‌های مرکزی به سمت جنوب، جنوب و شرق؛ برای فرسایش خاک شهرستان‌های غرب و جنوب غرب که هم رشد بالا و هم میانگین تخریب بالای دارند در دسته شهرستان‌های با آسیب‌پذیری حاد دسته‌بندی می‌شوند؛ بنابراین می‌توان اشاره کرد که نتایج تأییدکننده آسیب‌پذیری در ابعاد حساسیت و قرار گرفتن در معرض خطر محیط‌زیست ایران به صورت الگوهای نابرابر فضایی همسو با مطالعات محمدی و همکاران (Mohammadi et al., 2018)؛ شایسته و غریبی (Shayesteh & Gharibi, 2022)؛ قنادی و همکاران (Ghannadi et al., 2022)؛ فرخ نیا و مرید (Farokhnia & Morid, 2014) است.

با مشخص شدن الگوهای فضایی متفاوت ابعاد حساسیت و در معرض خطر بودن آسیب‌پذیری می‌توان از مجموعه پیشنهادها سیاستی برای کاهش آسیب‌پذیری و افزایش ظرفیت‌سازی سخن گفت. به همین ترتیب در ذیل پیشنهادها این پژوهش حول چند محور کلیدی دسته‌بندی می‌شود: نخست، نقش سیاست‌های سطح خرد با توجه به الگوهای نابرابر شهرستانی جهت سیاست‌گذاری مرتبط با الگوهای متفاوت هر شهرستان در اولویت است. دوم، نقش سیاست‌های دوگانه برای شهرستان‌های در معرض خطر و شهرستان‌های حساس حائز اهمیت است. به طوری‌که شهرستان‌های در معرض حساسیت، تأکید سیاست‌ها بر پیشگیری و در شهرستان‌های در معرض خطر تمرکز اصلی بر سیاست‌های مقابله‌ای است. علاوه بر این، با توجه به اینکه این مطالعه بخشی از یک پژوهش گسترده‌تر (Sadeghi, 2023) است با استناد به نتایج پژوهش مذکور می‌توان به طور خلاصه بر رابطه جمعیت و محیط‌زیست به‌عنوان یکی از مؤلفه‌های مهم افزایش ظرفیت‌سازی تأکید کرد. جونز و پرستون (Jones & Preston, 2011) اشاره می‌کند تعاملات جمعیت و محیط‌زیست یک میدان مطالعاتی به‌طور فزاینده مهم است که نیازمند توجه فزاینده است. هنگام توجه به مسائل محیط‌زیستی اگرچه مسیرهای شناخته‌شده شامل نژاد، قومیت، پویایی جنسیتی، رشد اقتصادی و همچنین دسترسی به شبکه‌های ایمنی، اجتماعی و خدماتی که برای تأمین معیشت ضروری هستند، به سرعت دنبال شود. با این وجود برخی از جنبه‌های پویایی جمعیت، مانند مهاجرت، شهرنشینی، تحولات خانوار، تحصیلات و ساختار سنی به‌طور مستقیم با سازگاری مرتبط هستند (Sadeghi, 2023; Abbasi Shavazi & Sadeghi, 2022). از این رو، تجزیه و تحلیل ویژگی‌ها و پویایی جمعیت می‌تواند ابزار قدرتمندی برای برنامه‌ریزی سازگاری و ظرفیت‌سازی ایجاد کند (Guzmán & de México, 2013). شربین و همکاران (Sherbinin, Carr, Cassels & Jiang, 2007) استدلال می‌کنند، علاقه به موضوع انطباق با تغییرات محیط‌زیستی به سرعت در حال گسترش است، اما نادیده گرفتن پویایی جمعیت شکاف قابل توجهی در توسعه و اجرای پروژه‌های سازگاری ایجاد می‌کند. در همین راستا، توجه مناسب به رشد، ترکیب و توزیع جمعیت که ساز و کار آنها در پژوهش صادقی (Sadeghi, 2023) بررسی گردید برای درک چگونگی توزیع آسیب‌پذیری محیط‌زیست در بین گروه‌های مختلف مردم حیاتی است (برای اطلاعات بیشتر به رساله دکتری Sadeghi, 2023 مراجعه شود).

در یک نتیجه‌گیری کلی، محیط‌زیست ایران در پارامترهای آلودگی هوا، تغییرات اقلیمی، گازهای گلخانه‌ای، منابع آب زیرزمینی، تنوع زیستی و فرسایش خاک از الگوی فضایی متفاوت حساسیت و قرار گرفتن در معرض آسیب‌پذیری برخوردار است که آزمون آماری گتیس نیز تأییدکننده الگوهای متفاوت فضایی آسیب‌پذیری خواهد بود. لذا در بستر توسعه اقتصادی و اجتماعی توجه به ابعاد آسیب‌پذیری و اولویت‌بندی شهرستان‌ها با توجه به درجه قرار گرفتن در معرض خطر و حساسیت می‌تواند تأثیر واقعی مؤلفه‌های مؤثر بر ظرفیت‌سازی [مانند پویایی جمعیت] را در بهبود عملکرد محیط‌زیست نشان دهد. در همین راستا سنجش ترکیبی

آسیب‌پذیری، استفاده از تصاویر ماهواره‌ای، شاخص سازی ترکیبی ابعاد محیط‌زیست با استفاده از روش‌های الگوریتمی تسلط تصادفی برای تعیین وزن ابعاد گوناگون در سنجش آسیب‌پذیری و تأکید بر نقش پویایی جمعیت در افزایش ظرفیت سازگاری محیط‌زیست از مهم‌ترین پیشنهادهای این پژوهش برای مطالعات آینده است.

تقدیر و تشکر: این مقاله مستخرج از رساله دکتری است که با حمایت دانشکده علوم اجتماعی دانشگاه تهران تهیه شده است. از این دانشکده و دانشگاه تهران تشکر و قدردانی می‌شود.

References

- Abbasi Shavazi, M. J., & Sadeghi, H. A. (2022). The impact of population dynamics on environmental hazards and issues: A scoping review. *Environmental Management Hazards*, 9(4), 325-339. [In Persian] <http://dx.doi.org/10.22059/jhsci.2023.354442.763>
- Adger, W. N. (2000). Social and ecological resilience: are they related? *Progress in Human Geography*, 24(3), 347-364. <https://doi.org/10.1191/030913200701540465>
- Adger, W. N. (2006). Vulnerability. *Global Environmental Change*, 16(3), 268-281. <https://doi.org/10.1016/j.gloenvcha.2006.02.006>
- Ahmadi, M., & Darvish, D. (2022). Investigation of changes in air pollutants in major metropolises of Iran using the optical depth of satellite images. *Journal of Natural Environment*, 75(1), 165-176. [In Persian] <https://doi.org/10.22059/jne.2022.338515.2387>
- Alwang, J., Siegel, P. B. & Jorgensen, S. L. (2001). *Vulnerability: a view from different disciplines*. Social Protection Discussion Papers Series, The World Bank, Washington DC.
- Ashouri, H., Hsu, K. L., Sorooshian, S., Braithwaite, D. K., Knapp, K. R., Cecil, L. D., ... & Prat, O. P. (2015). PERSIANN-CDR: Daily precipitation climate data record from multisatellite observations for hydrological and climate studies. *Bulletin of the American Meteorological Society*, 96(1), 69-83. <https://doi.org/10.1175/BAMS-D-13-00068.1>
- Azmi, A., & Motiee Langroudi, H. (2011). Review on Rural Environmental Problems in Iran and Solutions in Resolving These Problems. *Journal of Housing and Rural Environment*, 30(133), 101-115. [In Persian] <http://jhre.ir/article-1-20-fa.html>
- Bardsley, D. K., & Wiseman, N. D. (2012). Climate change vulnerability and social development for remote indigenous communities of South Australia. *Global Environmental Change*, 22(3), 713-723. <https://doi.org/10.1016/j.gloenvcha.2012.04.003>
- Bohle, H. G. (2001). Vulnerability and criticality: perspective from social geography. International Human Dimensions Programme on Global Environmental Change. *Journal of Environmental Protection*, 2(6), 3-5.
- Carroll, M. C., Reid, N., & Smith, B. W. (2008). Location quotients versus spatial autocorrelation in identifying potential cluster regions. *The Annals of Regional Science*, 42(2), 449-463. <https://doi.org/10.1007/s00168-007-0163-1>
- Chambers, R. (1989). Vulnerability, Coping and Policy. *IDS Bulletin*, 20(2), 1-7.

- Chen, Z., Wang, L., Wei, A., Gao, J., Lu, Y., & Zhou, J. (2019). Land-use change from arable lands to orchards reduced soil erosion and increased nutrient loss in a small catchment. *Science of the Total Environment*, 648, 1097-1104. <https://doi.org/10.1016/j.scitotenv.2018.08.141>
- Chudnovsky, A. A. (2021). *Monitoring Air Pollution in the Urban Environment by Remote Sensing*. Urban Remote Sensing: Monitoring, Synthesis, and Modeling in the Urban Environment. <https://doi.org/10.1002/9781119625865.ch18>
- Cunningham, A. B., Sharp, R. R., Hiebert, R., & James, G. (2003). Subsurface biofilm barriers for the containment and remediation of contaminated groundwater. *Bioremediation Journal*, 7(3-4), 151-164. <https://doi.org/10.1080/713607982>
- Cutter, S. L. (1996). Vulnerability to environmental hazards. *Progress in Human Geography*, 20(4): 529-539. <https://doi.org/10.1177/030913259602000407>
- De Jong, R., Verbesselt, J., Schaepman, M. E., & De Bruin, S. (2012). Trend changes in global greening and browning: contribution of short-term trends to longer-term change. *Global Change Biology*, 18(2), 642-655. <https://doi.org/10.1111/j.1365-2486.2011.02578.x>
- Diwediga, B., Le, Q. B., Agodzo, S. K., Tamene, L. D., & Wala, K. (2018). Modelling soil erosion response to sustainable landscape management scenarios in the Mo River Basin (Togo, West Africa). *Science of the Total Environment*, 625, 1309-1320. <https://doi.org/10.1016/j.scitotenv.2017.12.228>
- Eskandari, S., Ahmadloo, F., Pourghasemi, H. R., Ahangaran, Y., & Rezapour, Z. (2023). Temporal and Spatial Analysis of the Relationship Between Climate Parameter Changes and Fire in the Forests and Rangelands in the Province of Gilan. *Iranian Journal of Forest and Range Protection Research*, 21(1), 164-186. [In Persian] <https://dorl.net/dor/20.1001.1.17350859.1402.21.1.10.1>
- Famiglietti, J. S., Lo, M., Ho, S. L., Bethune, J., Anderson, K. J., Syed, T. H., & Rodell, M. (2011). Satellites measure recent rates of groundwater depletion in California's Central Valley. *Geophysical Research Letters*, 38(3). <https://doi.org/10.1029/2010GL046442>
- Farokhnia, A., & Morid, S. (2014). Assessment of GRACE and GLDAS capabilities for estimation of water balance in large scale areas, a case study of Urmia Lake Watershed. *Iran-Water Resources Research*, 10(1), 51-62. [In Persian] https://www.iwrr.ir/article_13418.html?lang=en
- Feyisa, G. L., Meilby, H., Fensholt, R., & Proud, S. R. (2014). Automated Water Extraction Index: A new technique for surface water mapping using Landsat imagery. *Remote Sensing of Environment*, 140, 23-35. <https://doi.org/10.1016/j.rse.2013.08.029>
- Forootan, E., Rietbroek, R., Kusche, J., Sharifi, M. A., Awange, J. L., Schmidt, M., ... & Famiglietti, J. (2014). Separation of large scale water storage patterns over Iran using GRACE, altimetry and hydrological data. *Remote Sensing of Environment*, 140, 580-595. <https://doi.org/10.1016/j.rse.2013.09.025>
- Füssler, H. M. (2007). Vulnerability: A generally applicable conceptual framework for climate change research. *Global Environmental Change*, 17(2), 155-167. <https://doi.org/10.1016/j.gloenvcha.2006.05.002>

- Gallopín, G. C. (2006). Linkages between vulnerability, resilience and adaptive capacity. *Global Environmental Change*, 16(3), 293-303. <https://doi.org/10.1016/j.gloenvcha.2006.02.004>
- Getis, A. & Ord, J. K. (1996). Local spatial statistics: an overview. In P. Longley & M. Batty (eds) *Spatial analysis: Modelling in a GIS Environment*. Cambridge: Geoinformation International.
- Ghajarnia, N., Liaghat, A., & Arasteh, P. D. (2015). Comparison and evaluation of high resolution precipitation estimation products in Urmia Basin-Iran. *Atmospheric Research*, 158, 50-65. <https://doi.org/10.1016/j.atmosres.2015.02.010>
- Ghannadi, M. A., Shahri, M., & Moradi, A. (2022). Air pollution monitoring using Sentinel-5 (Case study: big industrial cities of Iran). *Environmental Sciences*, 20(2), 81-98. [In Persian] <https://doi.org/10.52547/envs.2022.1026>
- Guzmán, J. M., & de México, C. (2013). *The demography of adaptation to climate change*. G. Martine, & D. Schensul (Eds.). New York, London and Mexico City: UNFPA, IIED, and El Colegio de México. <https://www.iied.org/g03554>
- Han, L., Zhou, W., Li, W., Meshesha, D. T., Li, L., & Zheng, M. (2015). Meteorological and urban landscape factors on severe air pollution in Beijing. *Journal of the Air & Waste Management Association*, 65(7), 782-787. <https://doi.org/10.1080/10962247.2015.1007220>
- Hinman, S. E. (2017). Comparing spatial distributions of infant mortality over time: Investigating the urban environment of Baltimore, Maryland in 1880 and 1920. *Applied Geography*, 86, 1-7. <https://doi.org/10.1016/j.apgeog.2017.06.015>
- IPCC. (2013). Managing the risks of extreme events and disasters to advance climate change adaptation. In C. B. Field, V. M. Barros, T. F. Stocker, D. Qin, D. J. Dokken, K. L. Ebi, M. D. Mastrandrea, ..., & P. M. Midgley (Eds.), A special report of working groups I and II of the intergovernmental panel on climate change. Cambridge: University Press Cambridge. <http://dx.doi.org/10.13140/2.1.3117.9529>
- Issazadeh, V., & Argany, M. (2021). Changes in Water Surface of Aquifers Using GRACE Satellite Data in the Google Earth Engine: A Study of the Urmia Lake Watershed From 2002 to 2017. *Town and Country Planning*, 13(1), 193-214. [In Persian] <https://doi.org/10.22059/jtcp.2020.304748.670127>
- Jiao, J. J., Zhang, X., & Wang, X. (2015). Satellite-based estimates of groundwater depletion in the Badain Jaran Desert, China. *Scientific Reports*, 5(1), 8960. <https://doi.org/10.1038/srep08960>
- Jones, R. N., & Preston, B. L. (2011). Adaptation and risk management. *Wiley Interdisciplinary Reviews: Climate Change*, 2(2), 296-308. <https://doi.org/10.1002/wcc.97>
- Karimian, H., Li, Q., Li, C., Jin, L., Fan, J., & Li, Y. (2016). An improved method for monitoring fine particulate matter mass concentrations via satellite remote sensing. *Aerosol and Air Quality Research*, 16(4), 1081-1092. <https://doi.org/10.4209/aaqr.2015.06.0424>
- Kirschbaum, D. B., Huffman, G. J., Adler, R. F., Braun, S., Garrett, K., Jones, E., ... & Zaitchik, B. F. (2017). NASA's remotely sensed precipitation: A reservoir for applications users. *Bulletin of the American Meteorological Society*, 98(6), 1169-1184. <https://doi.org/10.1175/BAMS-D-15-00296.1>

- Kloog, I., Sorek-Hamer, M., Lyapustin, A., Coull, B., Wang, Y., Just, A. C., ... & Broday, D. M. (2015). Estimating daily PM_{2.5} and PM₁₀ across the complex geo-climate region of Israel using MAIAC satellite-based AOD data. *Atmospheric Environment*, 122, 409-416. <https://doi.org/10.1016/j.atmosenv.2015.10.004>
- Lafortezza, R., Carrus, G., Sanesi, G., & Davies, C. (2009). Benefits and well-being perceived by people visiting green spaces in periods of heat stress. *Urban Forestry & Urban Greening*, 8(2), 97-108. <https://doi.org/10.1016/j.ufug.2009.02.003>
- Lee, M., & Diop, S. (2009). Millennium ecosystem assessment. An Assessment of Assessments: Findings of the Group of Experts Pursuant to UNGA Resolution 60/30, 1, 361.
- Lee, S., Chu, M. L., Guzman, J. A., & Botero-Acosta, A. (2021). A comprehensive modeling framework to evaluate soil erosion by water and tillage. *Journal of Environmental Management*, 279, 111631. <https://doi.org/10.1016/j.jenvman.2020.111631>
- McCarthy, J. J. (2001). *Climate change 2001: impacts, adaptation, and vulnerability: contribution of Working Group II to the third assessment report of the Intergovernmental Panel on Climate Change* (Vol. 2). Cambridge University Press.
- Mohammadi, S., Karimzadeh, H., Pourmanafi, S., & Soltani, S. (2018). Spatial and Temporal Evaluation of Soil Erosion using RUSLE model Landsat satellite image time series (Case Study: Menderjan, Isfahan). *Journal of Range and Watershed Management*, 71(3), 759-774. [In Persian] <https://doi.org/10.22059/jrwm.2018.221162.1073>
- Moshayedi, Z., & Jahangir, M. H. (2021). Qualitative evaluation of surface water resources using satellite images in Seymareh dam reservoir. *Iranian journal of Ecohydrology*, 8(4), 925-939. [In Persian] <https://doi.org/10.22059/ije.2021.328294.1530>
- Najafi, Z., Darvishsefat, A. A., Fatehi, P., & Attarod, P. (2020). Time series analysis of vegetation dynamic trend using Landsat data in Tehran megacity. *Iranian Journal of Forest*, 12(2), 257-270. [In Persian] http://www.ijf-isaforestry.ir/article_114056.html
- Nie, W., Zaitchik, B. F., Rodell, M., Kumar, S. V., Arsenault, K. R., Li, B., & Getirana, A. (2019). Assimilating GRACE into a land surface model in the presence of an irrigation-induced groundwater trend. *Water Resources Research*, 55(12), 11274-11294. <https://doi.org/10.1029/2019WR025363>
- Paul, C., Techen, A. K., Robinson, J. S., & Helming, K. (2019). Rebound effects in agricultural land and soil management: Review and analytical framework. *Journal of Cleaner Production*, 227, 1054-1067. <https://doi.org/10.1016/j.jclepro.2019.04.115>
- Proag, V. (2014) The concept of vulnerability and resilience. *Procedia Economics and Finance*, 18, 369-376. [https://doi.org/10.1016/S2212-5671\(14\)00952-6](https://doi.org/10.1016/S2212-5671(14)00952-6)
- Raispour, K. (2021). Evaluation of Spatiotemporal Column Particulate Matter Concentration (PM_{2.5}) Due to Dust Events in Iran Using Data from NASAN / MERRA-2 Reanalysis Model. *Journal of the Earth and Space Physics*, 47(2), 333-354. [In Persian] <https://doi.org/10.22059/jesphys.2021.316499.1007273>
- Ramezani Khojeen, A., Kheirkhah Zarkesh, M. M., & Daneshkar Arasteh, P. (2016). Calculating and Calibrating Land Surface Temperature Using Landsat8 Thermal bands. *Iranian Journal of Remote Sensing & GIS*, 7(3), 49-64. [In Persian] https://gisj.sbu.ac.ir/article_95869.html

- Rannow, S., & Neubert, M. (2014). *Managing protected areas in central and eastern Europe under climate change*. Springer Nature. <https://doi.org/10.1007/978-94-007-7960-0>
- Reed, M. S. (2008). Stakeholder participation for environmental management: a literature review. *Biological Conservation*, 141(10), 2417-2431. <https://doi.org/10.1016/j.biocon.2008.07.014>
- Rockström, J., Steffen, W., Noone, K., Persson, Å., Chapin, F. S., Lambin, E. F., ... & Foley, J. A. (2009). A safe operating space for humanity. *Nature*, 461(7263), 472-475. <https://doi.org/10.1038/461472a>
- Rozenstein, O., Qin, Z., Derimian, Y., & Karnieli, A. (2014). Derivation of land surface temperature for Landsat-8 TIRS using a split window algorithm. *Sensors*, 14(4), 5768-5780. <https://doi.org/10.3390/s140405768>
- sabziparvar, A. A., & Nazemosadat, M. J. (2016). Validation of Land surface Temperature (LST) from Landsat-5 and MODIS Images (Case study: Wheat fields of Marvdasht Plain). *Journal of Water and Soil Conservation*, 23(4), 25-43. [In Persian] <https://doi.org/10.22069/jwfst.2016.8864.2260>
- Sadeghi, H. A. (2023). *Explanation of the spatial pattern of environmental degradation in Iran with emphasis on demographic and economic determinants*. Ph.D. thesis, University of Tehran. [In Persian]
- Sadeghi, H. A., Azizi, A., & Sadeghi, R. (2022). The Impact of Gender Gaps on the Environmental Performance in Selected Countries. *Woman in Development & Politics*, 20(3), 389-413. [In Persian] <https://doi.org/10.22059/jwdp.2022.339832.1008173>
- Sadeghi, H., Mohamadi Masiri, A., & mohammadi, S. (2022). Environmental Governance and Government Efficiency in Iran. *State Studies of Contemporary Iran*, 8(2), 31-57. [In Persian] <https://dorl.net/dor/20.1001.1.27831914.1401.8.2.2.7>
- Saxena, P., & Naik, V. (2019). *Air pollution: sources, impacts and controls*. CAB International. <https://doi.org/10.1079/9781786393890.0000>
- Schneising, O., Buchwitz, M., Reuter, M., Bovensmann, H., Burrows, J. P., Borsdorff, T., ... & Wunch, D. (2019). A scientific algorithm to simultaneously retrieve carbon monoxide and methane from TROPOMI onboard Sentinel-5 Precursor. *Atmospheric Measurement Techniques*, 12(12), 6771-6802. <https://doi.org/10.5194/amt-12-6771-2019>
- Segnon, A. C., Totin, E., Zougmore, R. B., Lokossou, J. C., Thompson-Hall, M., Ofori, B. O., ... & Gordon, C. (2021). Differential household vulnerability to climatic and non-climatic stressors in semi-arid areas of Mali, West Africa. *Climate and Development*, 13(8), 697-712. <https://doi.org/10.1080/17565529.2020.1855097>
- Shayesteh, K., & Gharibi, S. (2022). Application of GEE in Dust Actual Sources Detection using Sentinel-5 and Modis. *Journal of Natural Environmental Hazards*, 11(34), 1-16. [In Persian] <https://doi.org/10.22111/jneh.2022.38729.1813>
- Sherbinin, A. D., Carr, D., Cassels, S., & Jiang, L. (2007). Population and environment. *Annual Review Environment and Resources*, 32(1), 345-373. <https://doi.org/10.1146/annurev.energy.32.041306.100243>

- Solomon, S. (2007). *Climate change 2007-the physical science basis: Working group I contribution to the fourth assessment report of the IPCC* (Vol. 4). Cambridge university press.
- Tang, G., Clark, M. P., Papalexiou, S. M., Ma, Z., & Hong, Y. (2020). Have satellite precipitation products improved over last two decades? A comprehensive comparison of GPM IMERG with nine satellite and reanalysis datasets. *Remote sensing of environment*, 240, 111697. <https://doi.org/10.1016/j.rse.2020.111697>
- Teng, H., Rossel, R. A. V., Shi, Z., Behrens, T., Chappell, A., & Bui, E. (2016). Assimilating satellite imagery and visible–near infrared spectroscopy to model and map soil loss by water erosion in Australia. *Environmental Modelling & Software*, 77, 156-167. <https://doi.org/10.1016/j.envsoft.2015.11.024>
- Thomas, J., Joseph, S., & Thrivikramji, K. P. (2018). Assessment of soil erosion in a tropical mountain river basin of the southern Western Ghats, India using RUSLE and GIS. *Geoscience Frontiers*, 9(3), 893-906. <https://doi.org/10.1016/j.gsf.2017.05.011>
- Torabi, F., Saravani, K., Sadeghi, H. A., & Jahanbazian, S. (2024). A comparative study of household vulnerability: A scoping review of the areas and measurement methods. *refahj*. 24(94), 2. [In Persian] <https://doi.org/10.32598/refahj.24.94.4424.1>
- Turner, B. S. (2015). *Vulnerability and human rights*. University Park, USA: Penn State University Press. <https://doi.org/10.1515/9780271030449>
- Vanacker, V., Ameijeiras-Mariño, Y., Schoonejans, J., Cornélis, J. T., Minella, J. P., Lamouline, F., ... & Opfergelt, S. (2019). Land use impacts on soil erosion and rejuvenation in Southern Brazil. *Catena*, 178, 256-266. <https://doi.org/10.1016/j.catena.2019.03.024>
- Vogel, C., Susanne, C. M., Roger, E. K., & Geoffrey, D. D. (2012). *Linking vulnerability, adaptation, and resilience science to practice: pathways, players and partnerships I. In Integrating science and policy*. London :Routledge.
- Weng, Q., Fu, P., & Gao, F. (2014). Generating daily land surface temperature at Landsat resolution by fusing Landsat and MODIS data. *Remote Sensing of Environment*, 145, 55-67. <https://doi.org/10.1016/j.rse.2014.02.003>
- Yoshida, Y., Ota, Y., Eguchi, N., Kikuchi, N., Nobuta, K., Tran, H., ... & Yokota, T. (2011). Retrieval algorithm for CO₂ and CH₄ column abundances from short-wavelength infrared spectral observations by the Greenhouse gases observing satellite. *Atmospheric Measurement Techniques*, 4(4), 717-734. <https://doi.org/10.5194/amt-4-717-2011>
- Yuan, F., Wang, B., Shi, C., Cui, W., Zhao, C., Liu, Y., ... & Yang, X. (2018). Evaluation of hydrological utility of IMERG Final run V05 and TMPA 3B42V7 satellite precipitation products in the Yellow River source region, China. *Journal of Hydrology*, 567, 696-711. <https://doi.org/10.1016/j.jhydrol.2018.06.045>
- Zabihi, M., Sadeghi, S. H., & Vafakhah, M. (2015). Spatial analysis of rainfall erosivity index patterns at different time scales in Iran. *Watershed Engineering and Management*, 7(4), 442-457. [In Persian] <https://doi.org/10.22092/ijwmse.2015.103089>